

# 第九章 气体动力循环

## Gas power cycles

9-1 分析动力循环的一般方法

9-2 活塞式内燃机实际循环的简化

9-3 活塞式内燃机的理想循环

9-4 活塞式内燃机个正理想循环的热力学比较

9-5 燃气轮机装置循环

9-6 燃气轮机装置定压加热实际循环

9-7 提高燃气轮机装置热效率的热力学措施

9-8 喷气发动机简介

# 9-1 分析动力循环的一般方法



## 一、分析动力循环的目的

在热力学基本定律的基础上分析循环能量转化的经济性，寻求提高经济性的方向及途径。

## 二、分析动力循环的一般步骤

1. 实际循环（复杂不可逆） 抽象、简化 → 可逆理论循环

分析可逆循环

→ 影响经济性的主要因素和可能改进途径

指导改善

→ 实际循环

2. 分析实际循环与理论循环的偏离程度，找出实际损失的部位、大小、原因及改进办法



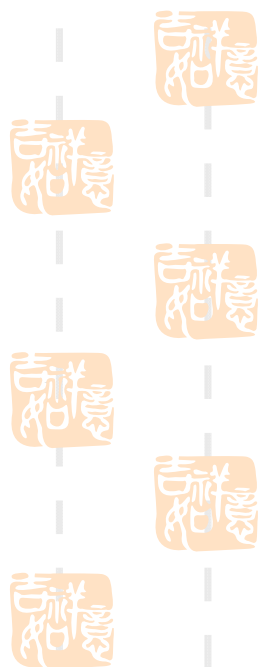
### 三、分析动力循环的方法

1. 第一定律分析法 ——

以第一定律为基础，以能量的数量守恒为立足点。

2. 第二定律分析法 ——

综合第一定律和第二定律从能量的数量和质量分析。



{	熵分析法 ——	熵产 ——	作功能力损失
	分析法 ——	火用 损 ——	火用 效率



## 四、内部热效率 $\eta_i$ (internal thermal efficiency)

——不可逆过程中实际作功量和循环加热量之比

$$\eta_i = \frac{W_{\text{net,act}}}{q_1} = \frac{\eta_T W_{\text{net}}}{q_1} = \eta_T \eta_t$$

其中

$$\eta_t = \frac{W_{\text{net}}}{q_1}$$

与实际循环相当的内可逆循环的热效率

$$\eta_T = \frac{W_{\text{net,act}}}{W_{\text{net}}}$$

相对内部效率 (internal engine efficiency)  
反映内部摩擦引起的损失

## 五、空气标准假设 (the air-standard hypothesis)

- 气体动力循环中工作流体  $\longrightarrow$  理想气体  $\longrightarrow$  空气  $\longrightarrow$  定比热
- 燃烧和排气过程  $\longrightarrow$  吸热和放热过程
- 燃料燃烧造成各部分气体成分及质量改变忽略不计

## 9-2 活塞式内燃机实际循环的简化

### 一、活塞式内燃机(internal combustion engine)简介

#### 1. 分类:

按燃料: 煤气机(gas engine)

汽油机(gasoline engine; petrol engine)

柴油机(diesel engine)

按点火方式: 点燃式(spark ignition engine)

压燃式(compression ignition engine)

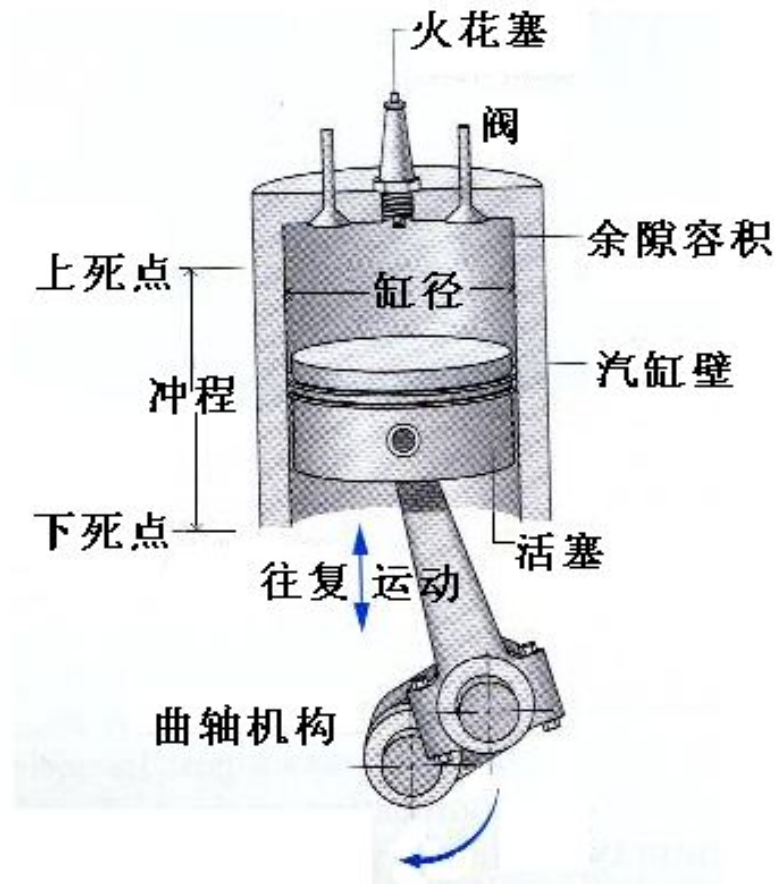
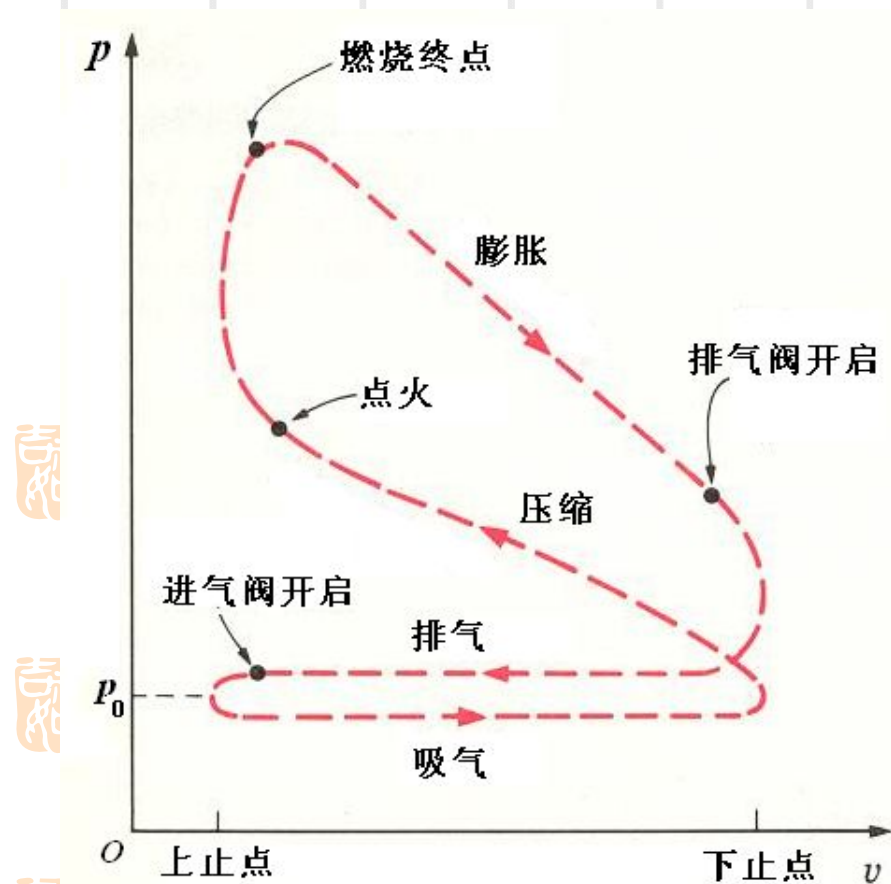
按冲程: 二冲程(two-stroke )

四冲程(four-stroke )

## 2. 活塞式内燃机循环特点

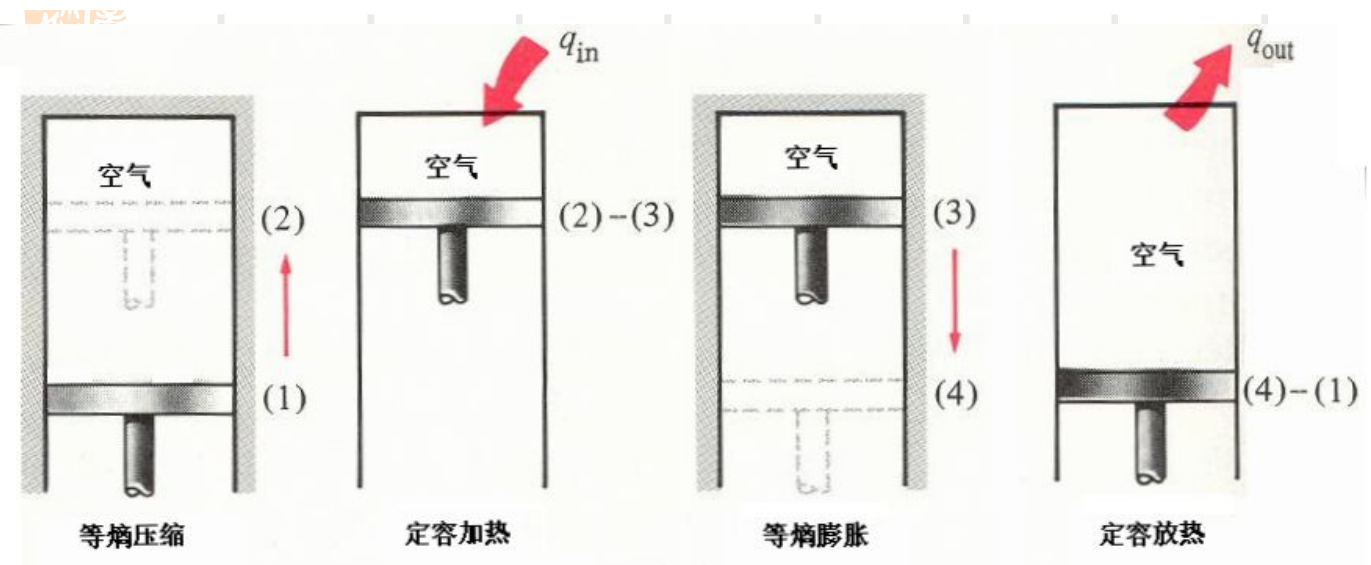
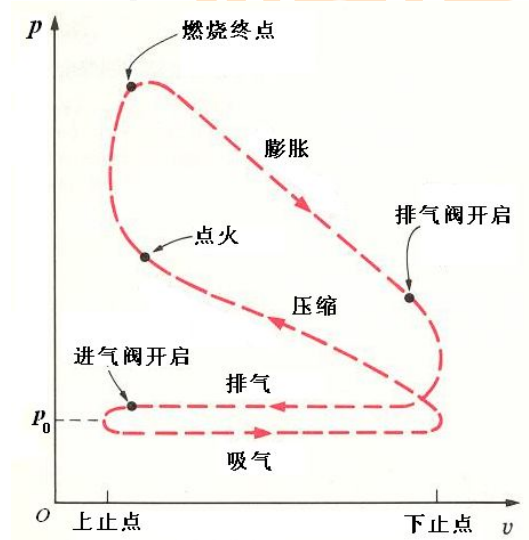
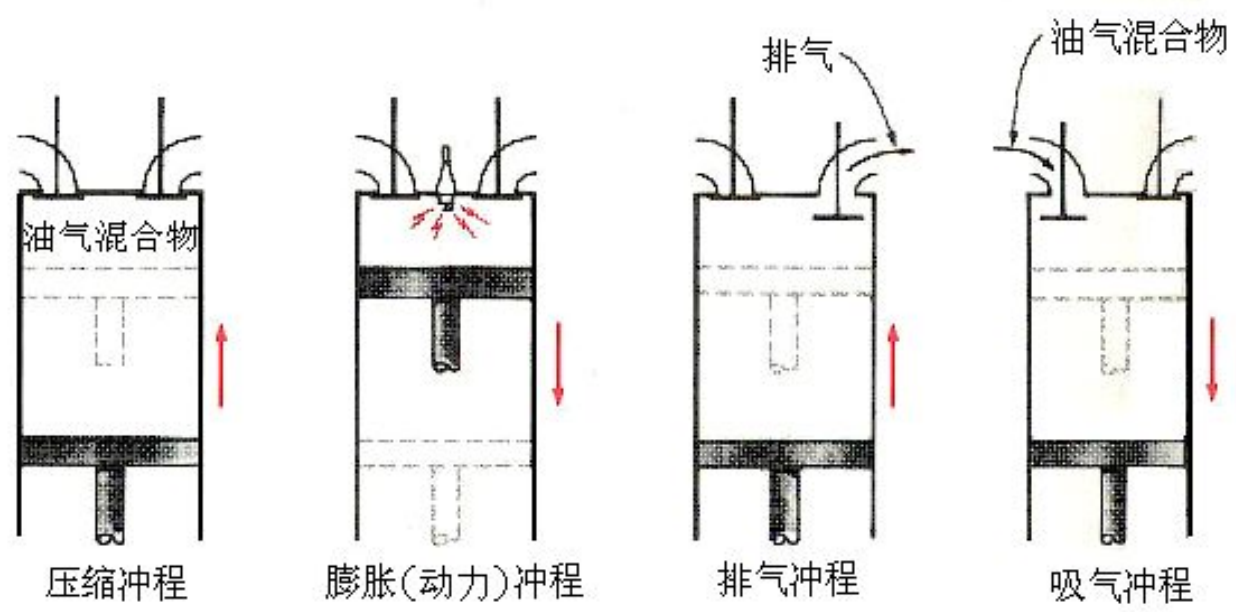
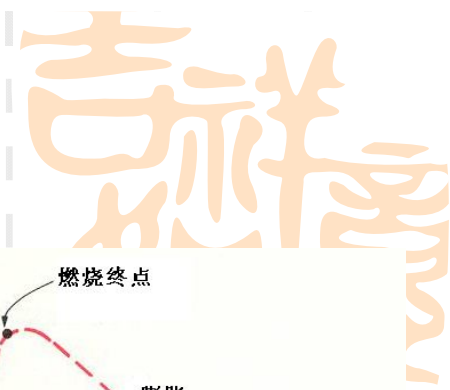
**开式循环(open cycle);**

燃烧、传热、排气、膨胀、压缩均为**不可逆**;  
各环节中工质**质量、成分稍有变化**。



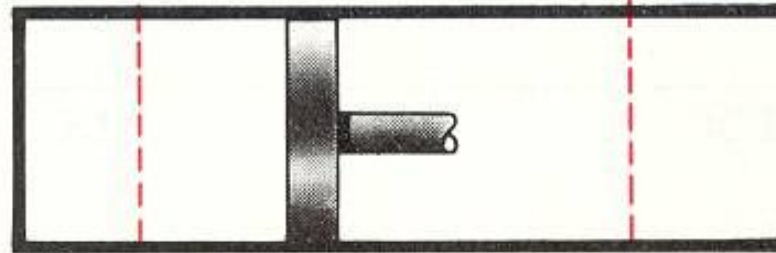
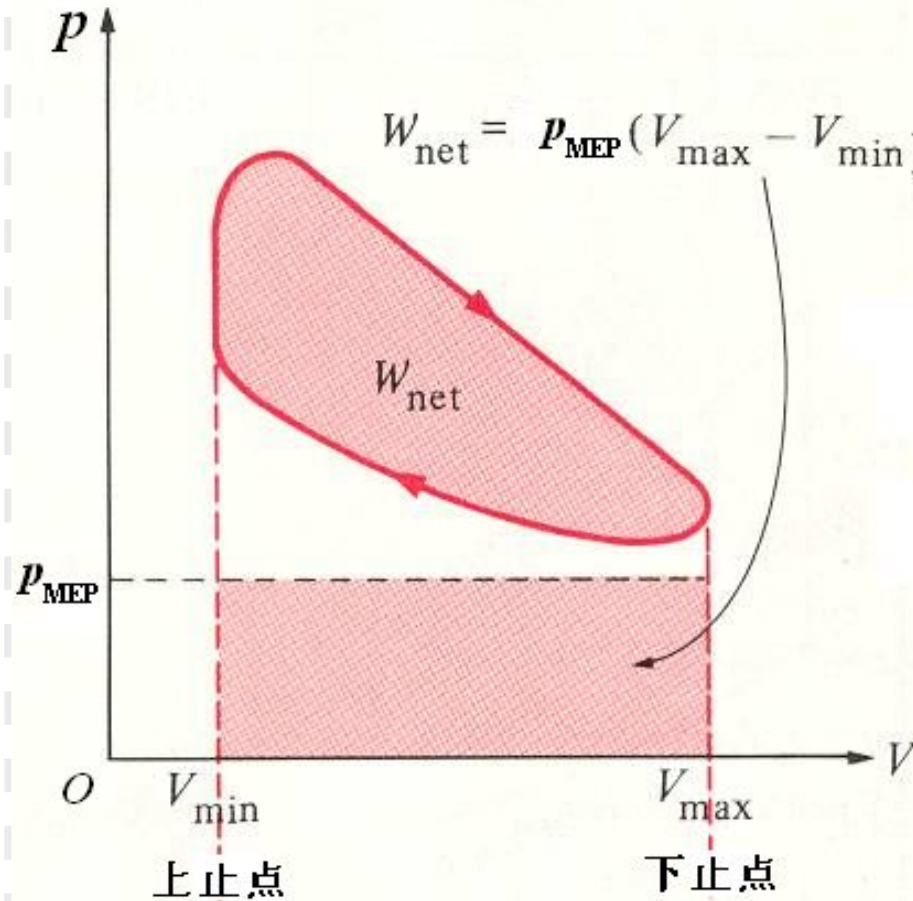


## 二、活塞式内燃机循环的简化



### 三、平均有效压力(mean effective pressure)

$$p_{\text{MEP}} = \frac{W_{\text{net}}}{V_{\text{h}}}$$



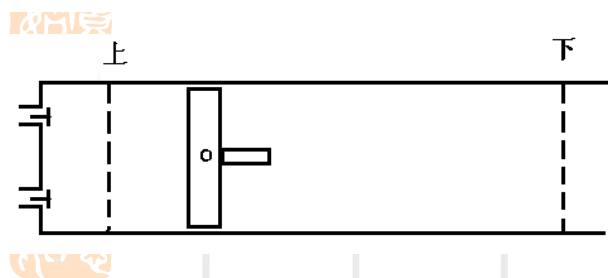
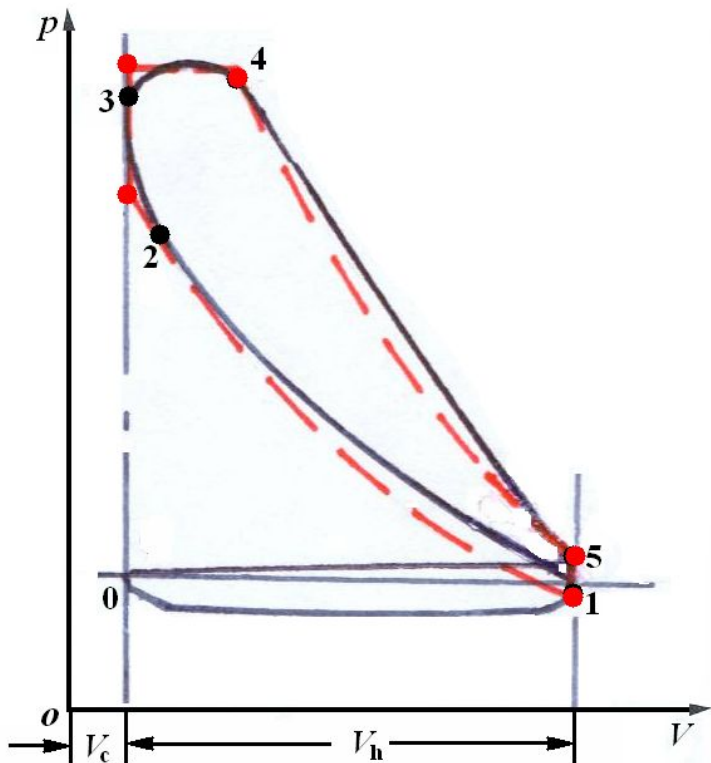


# 9-3 活塞式内燃机的理想循环



## 一、混合加热理想循环 (dual combustion cycle)

- 0→1 吸气
- 1→2 压缩
- 2→3 喷油、燃烧
- 3→4 燃烧
- 4→5 膨胀做功
- 5→0 排气



简化: 引用空气标准假设

燃烧→2-3等容吸热+3-4定压吸热

排气→5-1等容放热

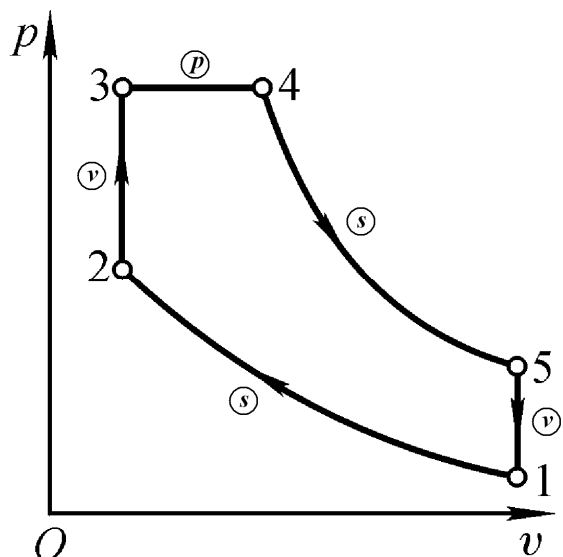
压缩、膨胀→1-2及4-5等熵过程

吸、排气线→重合、忽略

燃油质量→忽略

燃气成分改变→忽略

# 1. $p-v$ 图及 $T-s$ 图



1→2 等熵压缩; 2→3 等容吸热;  
3→4 定压吸热; 4→5 等熵膨胀;  
5→1 定容放热

特性参数:

**压缩比 (compression ratio)**

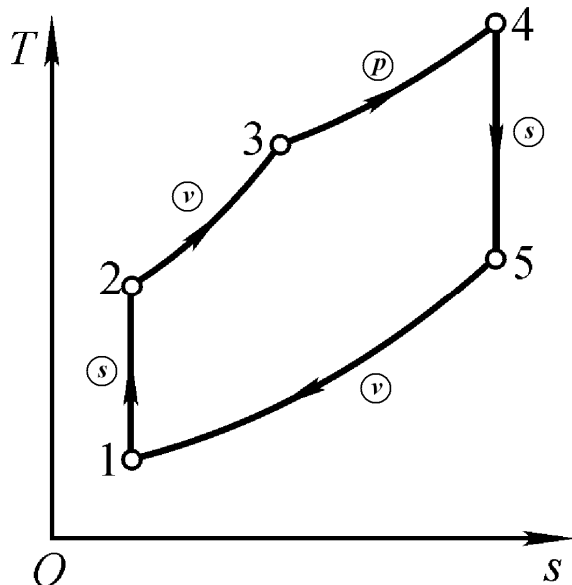
$$\varepsilon = \frac{v_1}{v_2}$$

**定容增压比 (pressure ratio)**

$$\lambda = \frac{p_3}{p_2}$$

**定压预胀比 (cutoff ratio)**

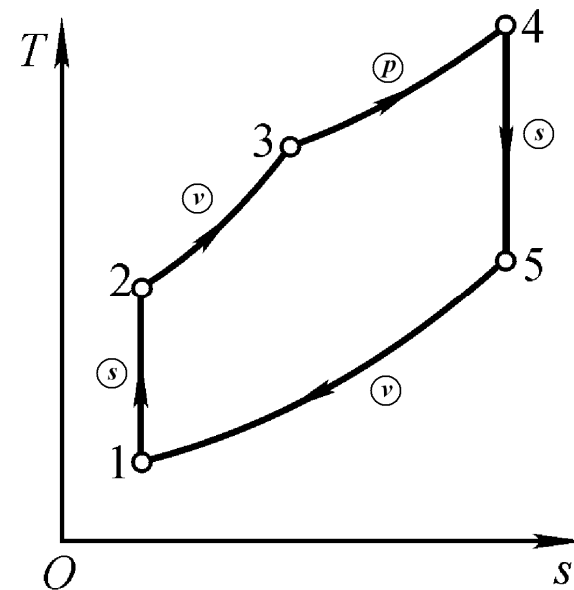
$$\rho = \frac{v_4}{v_3}$$



## 2. 循环热效率

$$\eta_t = \frac{W_{\text{net}}}{q_1}$$

$$\begin{aligned} W_{\text{net}} &= W_{1-2} + W_{2-3} + W_{3-4} + W_{4-5} + W_{5-1} \\ &= W_{1-2} + W_{3-4} + W_{4-5} \end{aligned}$$



$$= \frac{R_g}{\kappa - 1} T_1 \left[ 1 - \left( \frac{p_2}{p_1} \right)^{\frac{\kappa-1}{\kappa}} \right] + p_3 (v_4 - v_3) + \frac{R_g}{\kappa - 1} T_4 \left[ 1 - \left( \frac{p_5}{p_4} \right)^{\frac{\kappa-1}{\kappa}} \right]$$

或  $W_{\text{net}} = q_{\text{net}} = q_1 - q_2$

$$q_1 = q_{2-3} + q_{3-4} = c_V (T_3 - T_2) + c_p (T_4 - T_3)$$

$$q_2 = q_{5-1} = c_V (T_5 - T_1)$$

$$\eta_t = 1 - \frac{q_2}{q_1} = 1 - \frac{T_5 - T_1}{(T_3 - T_2) + \kappa(T_4 - T_3)}$$

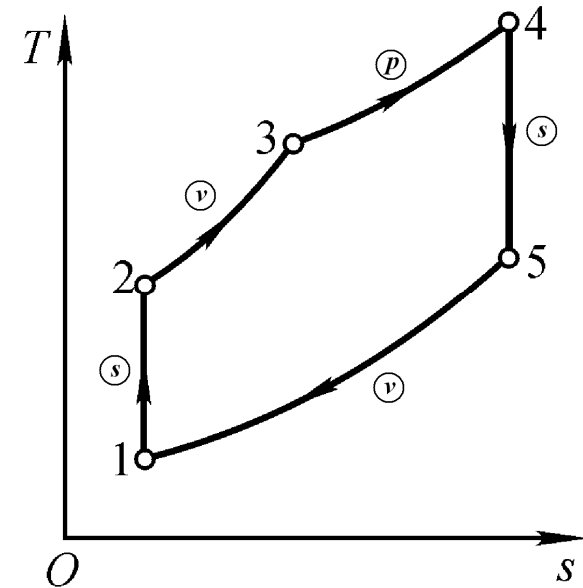
利用  $\varepsilon$ 、 $\lambda$ 、 $\rho$  表示  $\eta_t$

$$1 \rightarrow 2 \quad T_2 = T_1 \left( \frac{v_1}{v_2} \right)^{\kappa-1} = T_1 \varepsilon^{\kappa-1}$$

$$2 \rightarrow 3 \quad T_3 = T_2 \frac{p_3}{p_2} = T_1 \lambda \varepsilon^{\kappa-1}$$

$$3 \rightarrow 4 \quad T_4 = T_3 \frac{v_4}{v_3} = T_1 \rho \lambda \varepsilon^{\kappa-1}$$

$$5 \rightarrow 1 \quad T_5 = T_1 \frac{p_5}{p_1}$$



求  $\frac{p_5}{p_1}$

$$p_1 v_1^\kappa = p_2 v_2^\kappa; \quad p_5 v_5^\kappa = p_4 v_4^\kappa$$

$$p_4 = p_3 \quad v_1 = v_5 \quad v_2 = v_3$$

$$\frac{p_5}{p_1} = \frac{p_4}{p_2} \left( \frac{v_4}{v_3} \right)^\kappa = \frac{p_3}{p_2} \left( \frac{v_4}{v_3} \right)^\kappa = \lambda \rho^\kappa$$

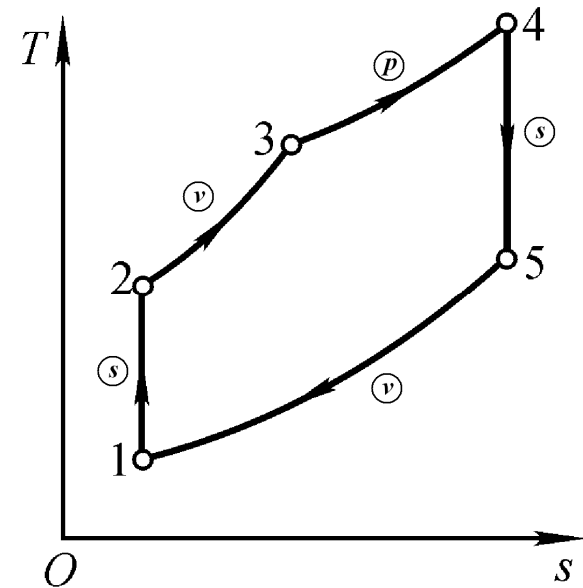
$$T_5 = T_1 \frac{p_5}{p_1} \quad T_5 = T_1 \lambda \rho^\kappa$$

把  $T_2$ 、 $T_3$ 、 $T_4$  和  $T_5$  代入

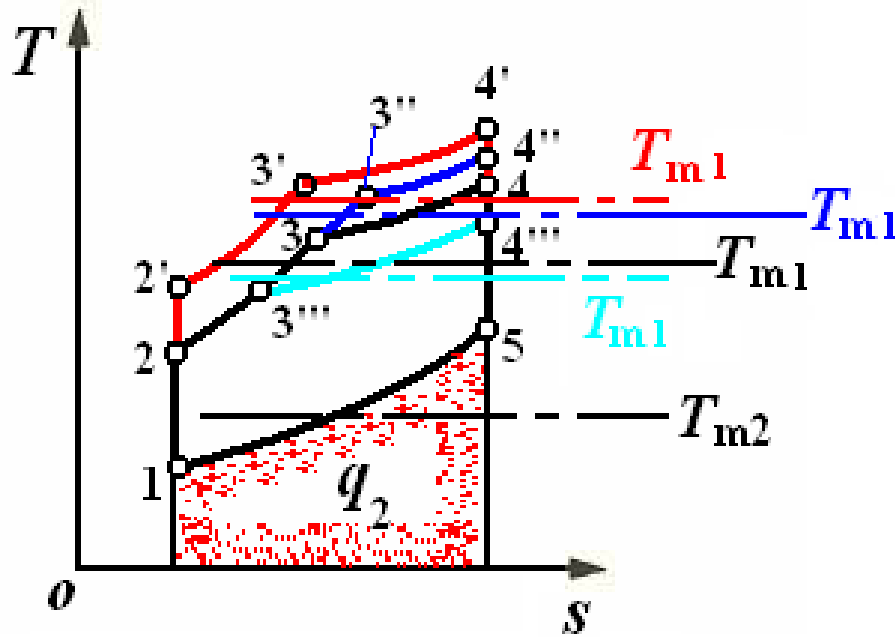
$$\eta_t = 1 - \frac{T_5 - T_1}{(T_3 - T_2) + \kappa(T_4 - T_3)}$$

$$\eta_t = 1 - \frac{\lambda \rho^\kappa - 1}{\varepsilon^{\kappa-1} [(\lambda - 1) + \kappa \lambda (\rho - 1)]}$$

两式相除，考虑到



讨论:



- a)  $\varepsilon \uparrow \eta_t \uparrow$
- b)  $\lambda \uparrow \eta_t \uparrow$
- c)  $\rho \uparrow \eta_t \downarrow$

归纳:

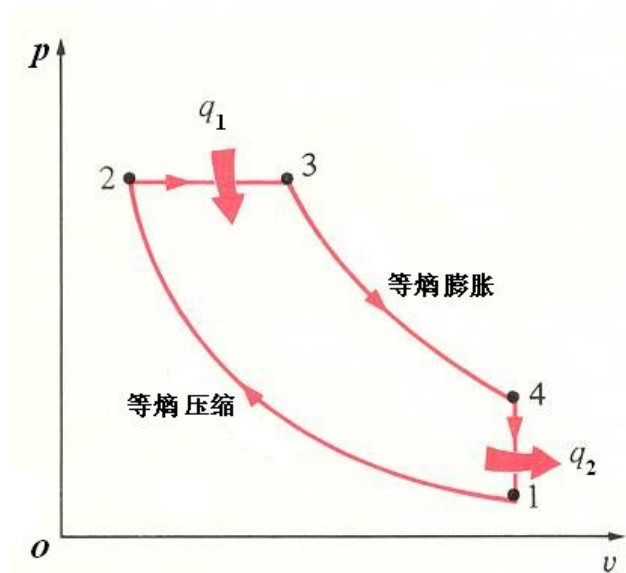
a. 吸热前压缩气体，提高平均吸热温度是提高热效率的重要措施，是卡诺循环，第二定律对实际循环的指导。

b. 利用  $T-s$  图分析循环较方便。

c. 同时考虑  $q_1$  和  $q_2$  或  $T_{1m}$  和  $T_{2m}$  平均。

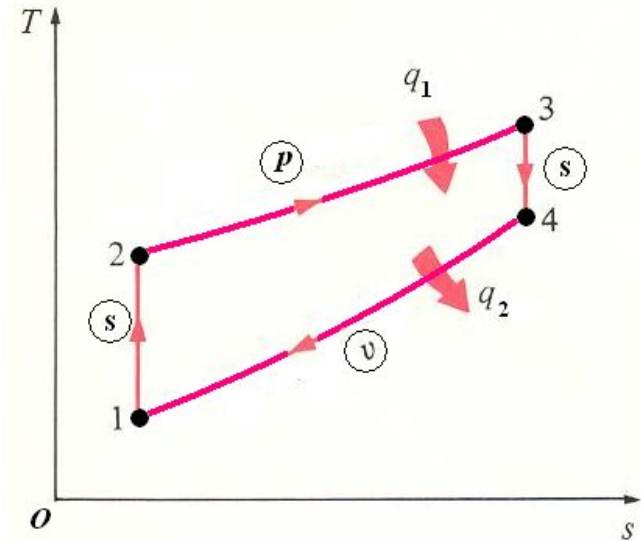


## 二、定压加热理想循环(Diesel cycle)



$$\varepsilon = \frac{v_1}{v_2}$$

$$\rho = \frac{v_3}{v_2}$$



$$\eta_t = 1 - \frac{q_2}{q_1}$$

$$q_2 = c_v (T_4 - T_1)$$

$$q_1 = c_p (T_3 - T_2)$$

$$\eta_t = 1 - \frac{T_4 - T_1}{\kappa (T_3 - T_2)}$$

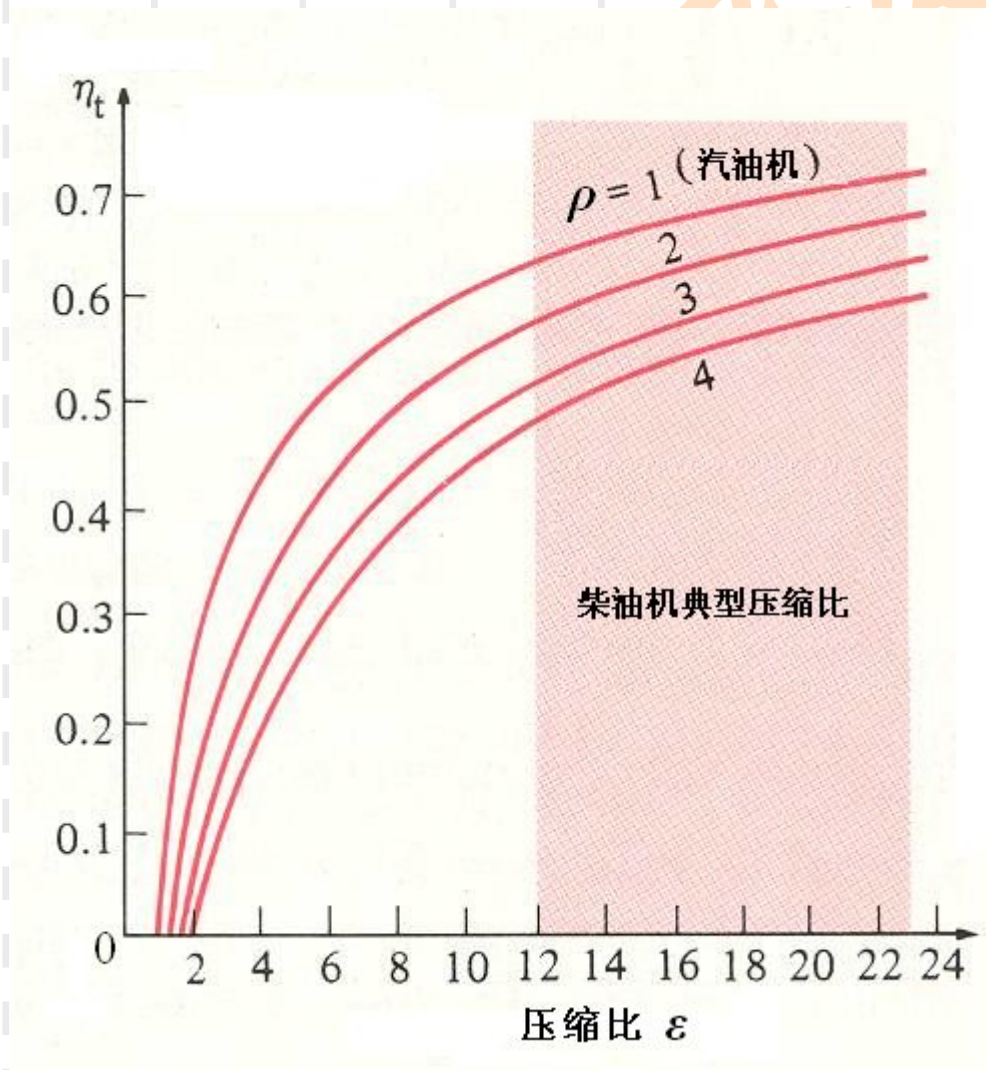
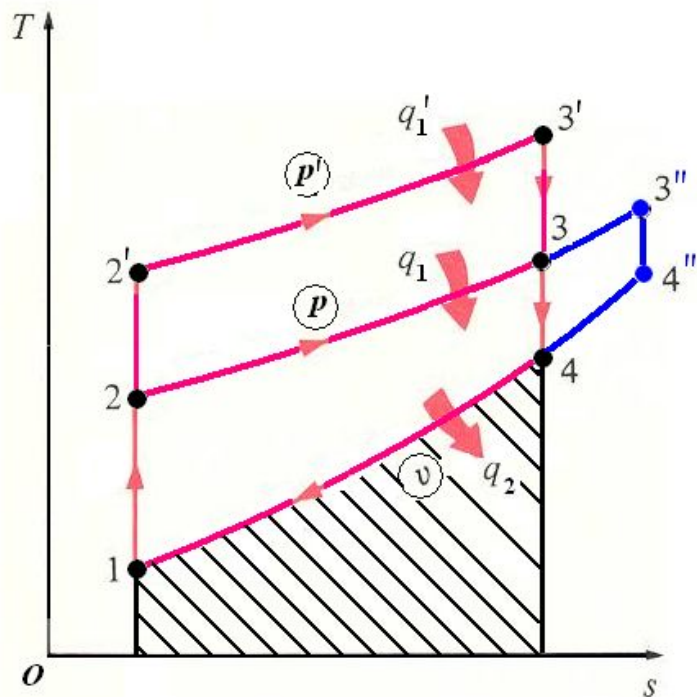
$$\lambda \rho^\kappa - 1$$

$$\eta_t = 1 - \frac{\lambda \rho^\kappa - 1}{\varepsilon^{\kappa-1} [(\lambda - 1) + \kappa \lambda (\rho - 1)]}$$

$$\lambda = 1 \Rightarrow \eta_t = 1 - \frac{\rho^\kappa - 1}{\kappa \varepsilon^{\kappa-1} (\rho - 1)}$$

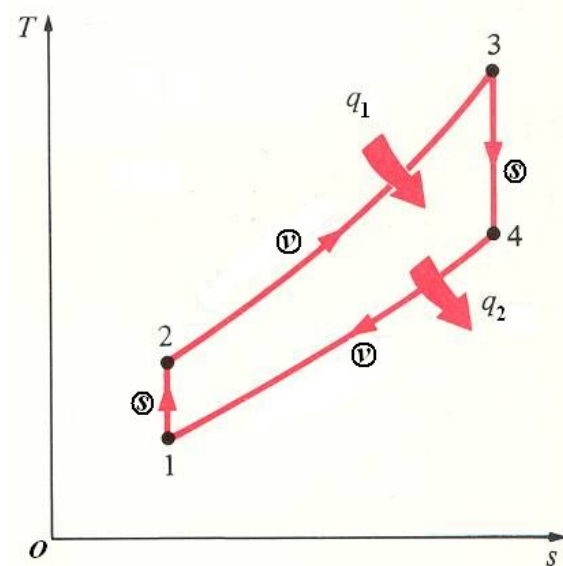
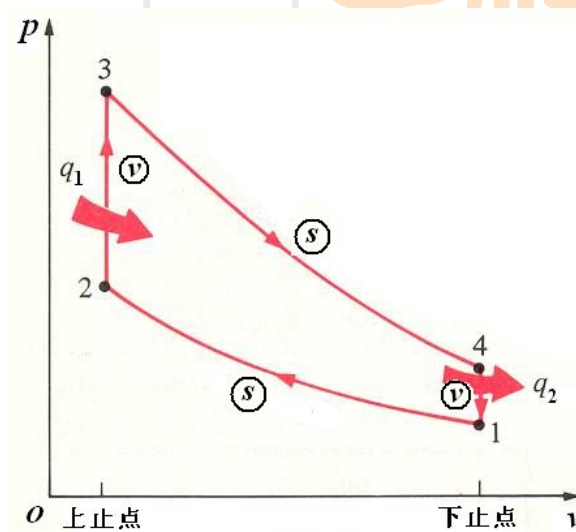
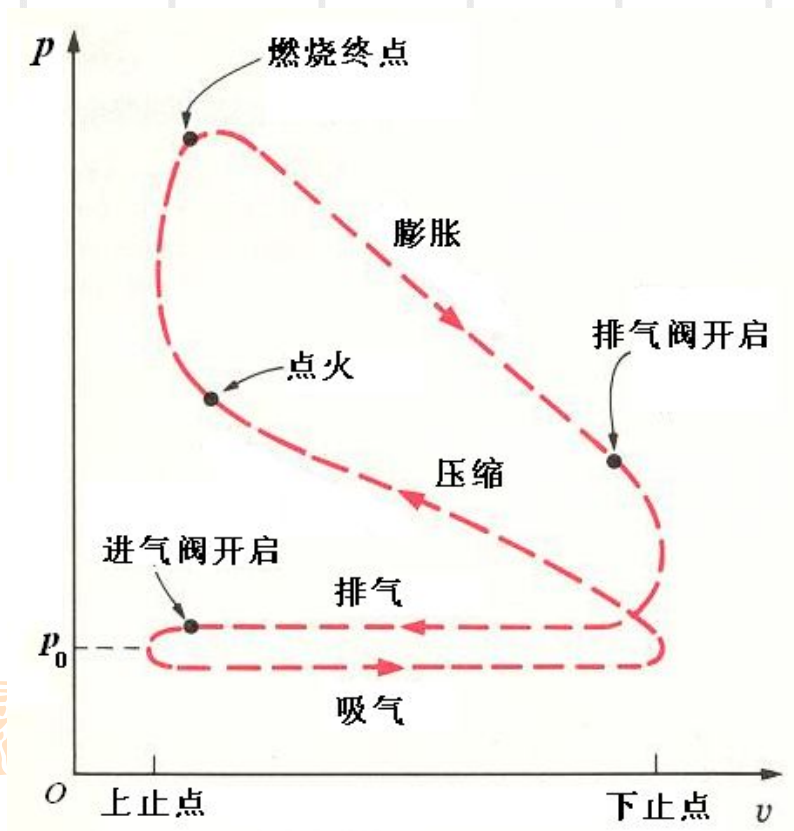
讨论: a)  $\varepsilon \uparrow \eta_t \uparrow w_{\text{net}} \uparrow$

b)  $\rho \uparrow \eta_t \downarrow w_{\text{net}} \uparrow$



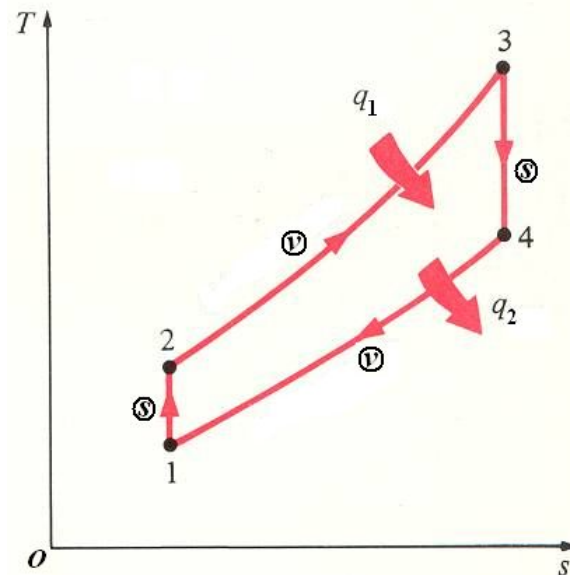
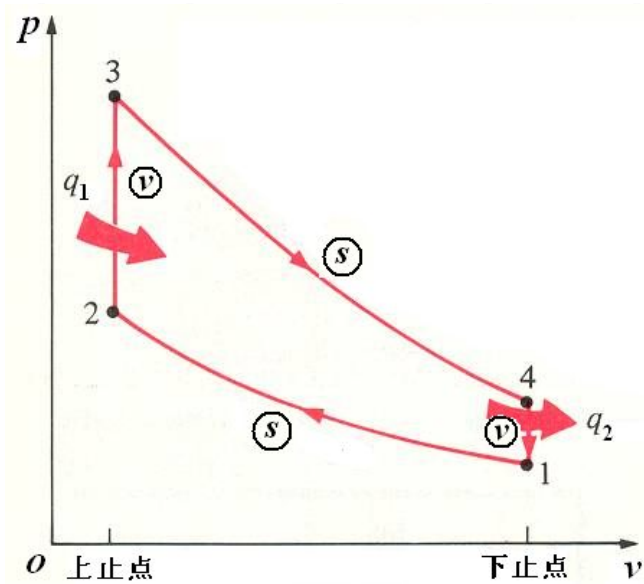
c) 重负荷 ( $\rho \uparrow, q_1 \uparrow$ ) 时  
内部热效率下降, 除  $\rho \uparrow$   
外还有因温度上升而使  
 $\kappa \downarrow$ , 造成热效率下降

### 三、定容加热理想循环(Otto cycle)



$$\varepsilon = \frac{v_1}{v_2}$$

$$\lambda = \frac{p_3}{p_2}$$



$$\varepsilon = \frac{v_1}{v_2}$$

$$\lambda = \frac{p_3}{p_2}$$

$$q_1 = c_V (T_3 - T_2)$$

$$q_2 = c_V (T_4 - T_1)$$

$$\rho = 1 \Rightarrow \eta_t = 1 - \frac{\lambda \rho^\kappa - 1}{\varepsilon^{\kappa-1} [(\lambda - 1) + \kappa \lambda (\rho - 1)]} = 1 - \frac{1}{\varepsilon^{\kappa-1}}$$

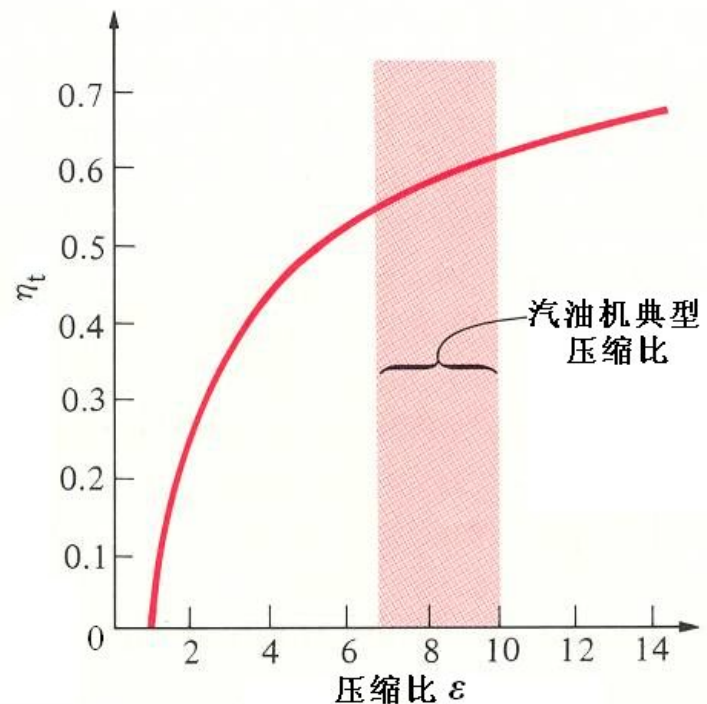
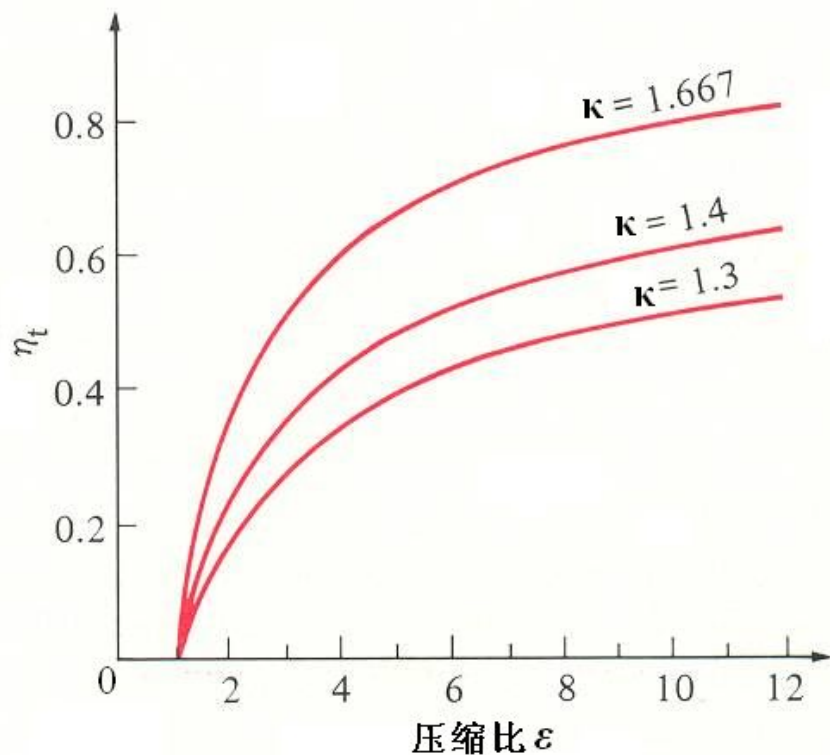
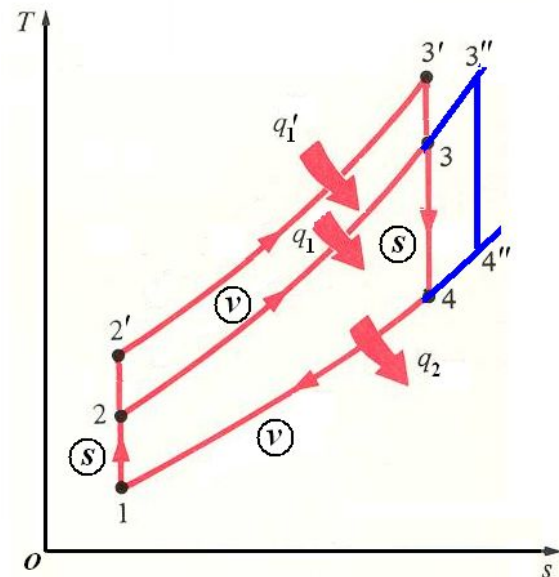
$$\eta_t = 1 - \frac{q_2}{q_1} = 1 - \frac{T_4 - T_1}{T_3 - T_2}$$

讨论:

a)  $\varepsilon \uparrow$   $\eta_t \uparrow$

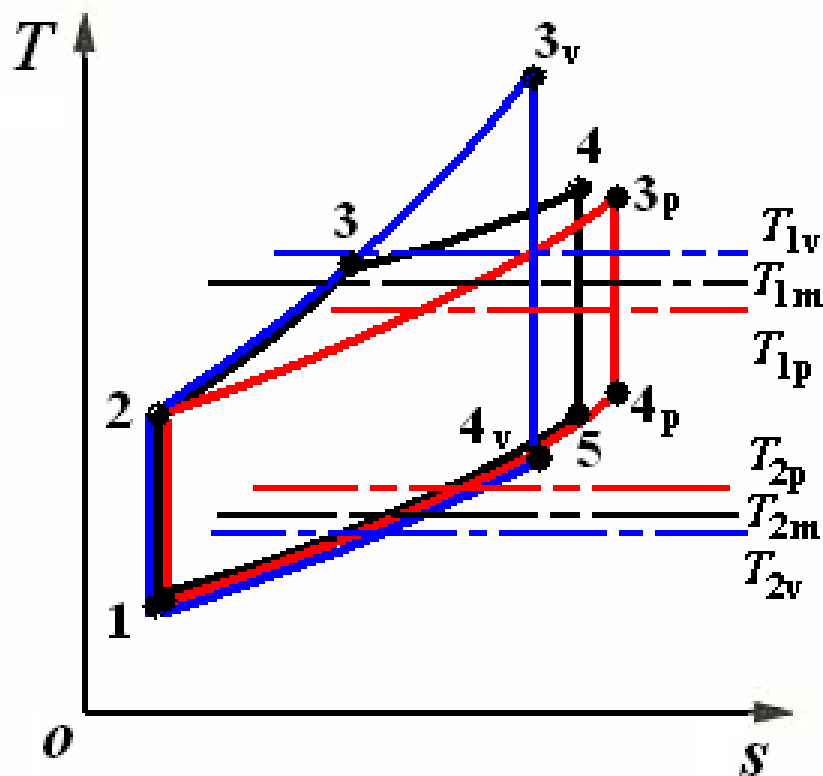
b)  $\lambda \uparrow$ ;  $\eta_t$  不变, 但  $w_{net} \uparrow$

c) 重负荷 ( $q_1 \uparrow$ ) 时内部热效率下降, 因温度上升使  $\kappa \downarrow$ , 造成热效率下降



# 9-4 活塞式内燃机各种理想循环的热力学比较

## 一、压缩比相同，吸热量相同时的比较



$$q_{1v} = q_{1m} = q_{1p}$$

$$q_{2v} < q_{2m} < q_{2p}$$

$$\eta_{tv} > \eta_{tm} > \eta_{tp}$$

或

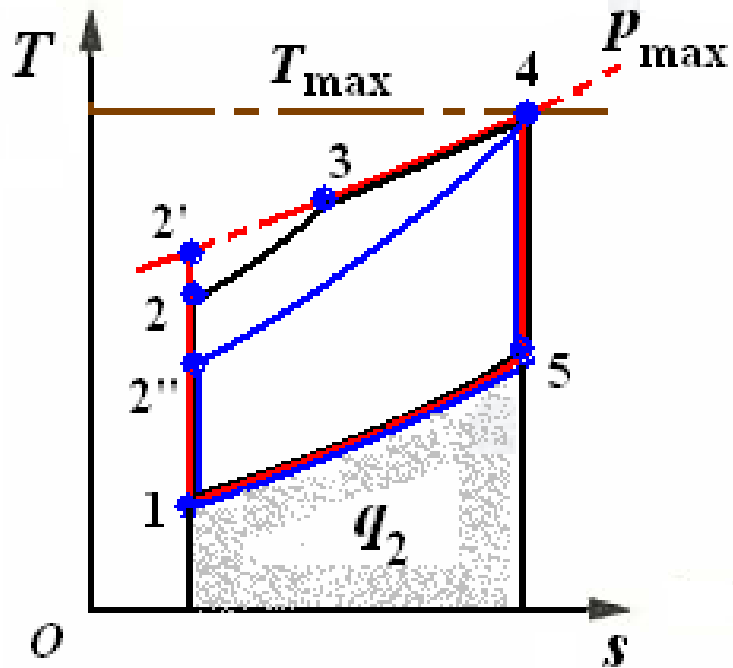
$$\bar{T}_{2v} < \bar{T}_{2m} < \bar{T}_{2p}$$

$$\bar{T}_{1v} > \bar{T}_{1m} > \bar{T}_{1p}$$





## 二、循环 $p_{\max}$ 、 $T_{\max}$ 相同时的比较



$$q_{2p} = q_{2m} = q_{2v}$$

$$q_{1p} > q_{2m} > q_{2v}$$

$$\eta_{t,p} > \eta_{t,m} > \eta_{t,v}$$

或

$$\bar{T}_{2p} = \bar{T}_{2m} = \bar{T}_{2v}$$

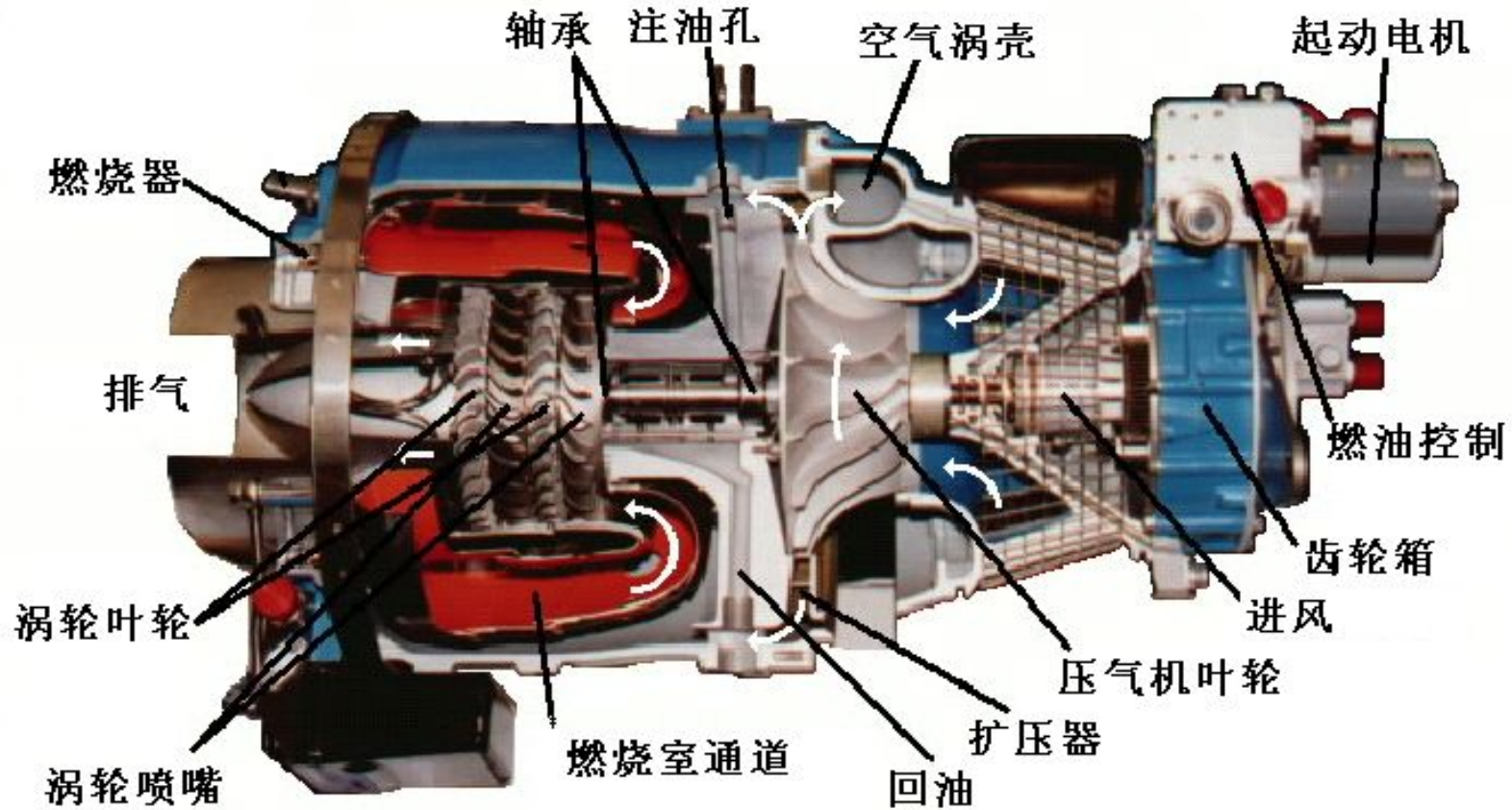
$$\bar{T}_{1p} > \bar{T}_{1m} > \bar{T}_{1v}$$

[例 A470299](#)

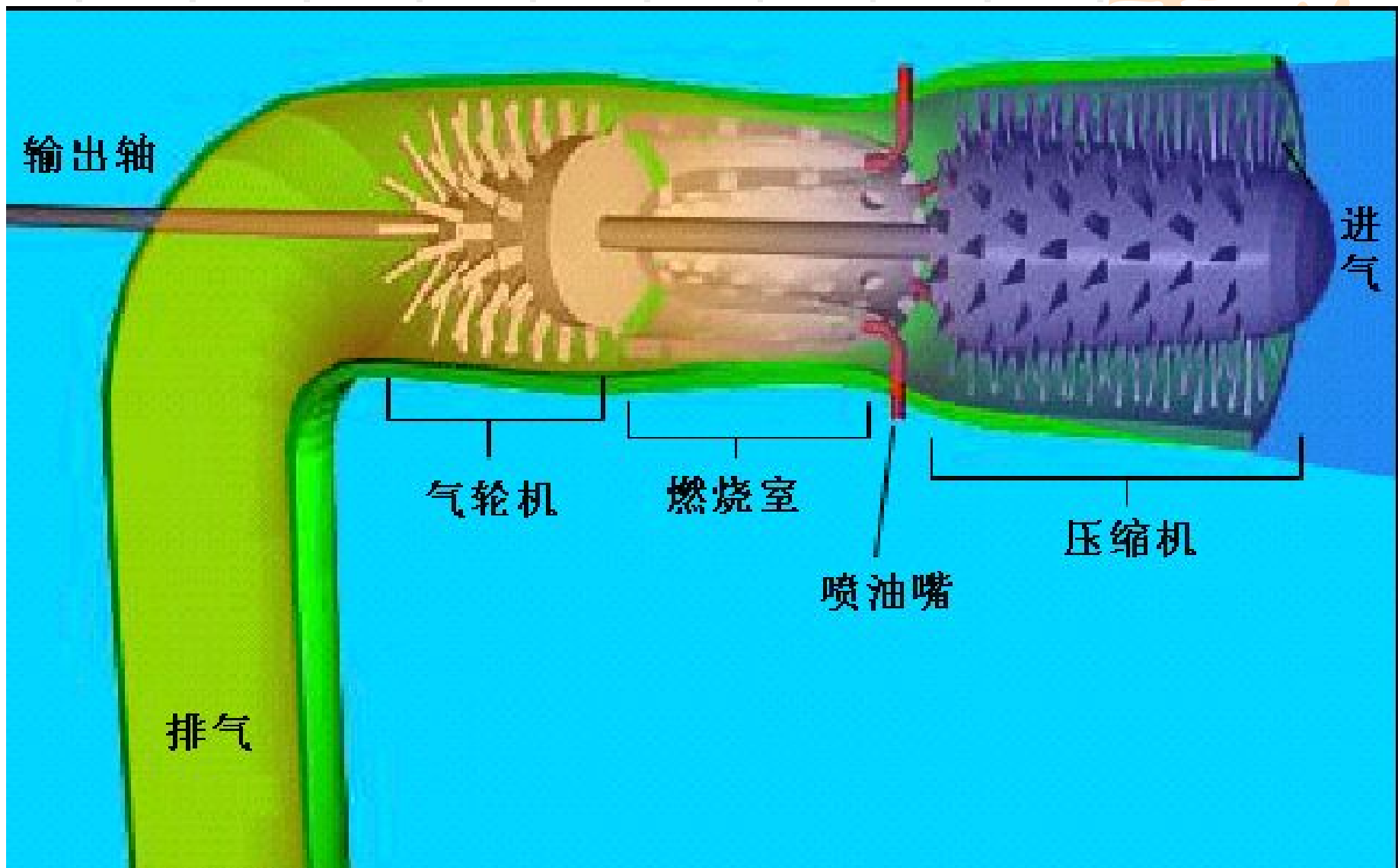
[例 A447277](#)

# 9-5 燃气轮机装置循环

## 一、燃气轮机(gas turbine)装置简介



小型燃气轮机



轴流式燃气轮机

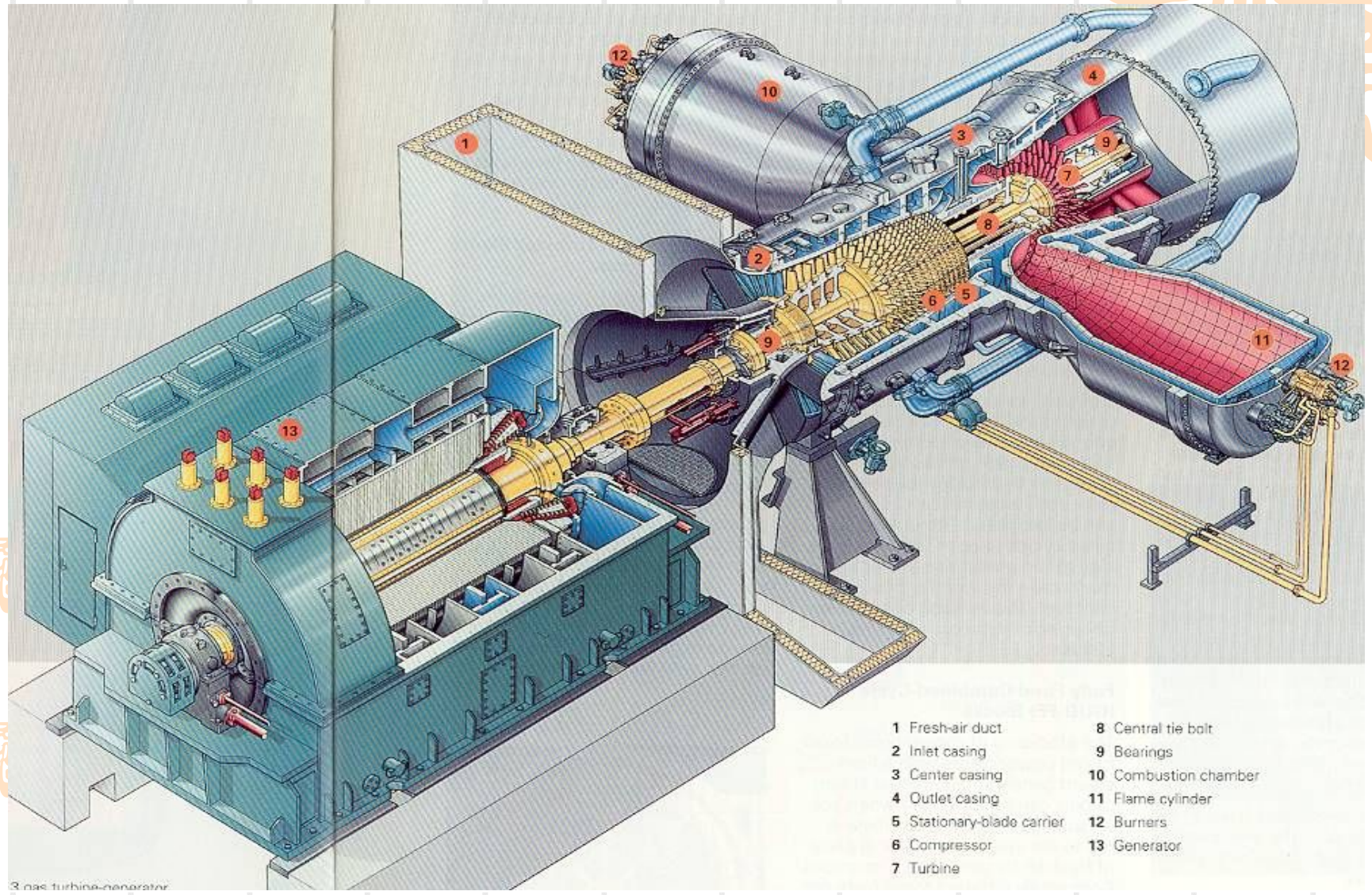


压气机

燃烧室

气轮机



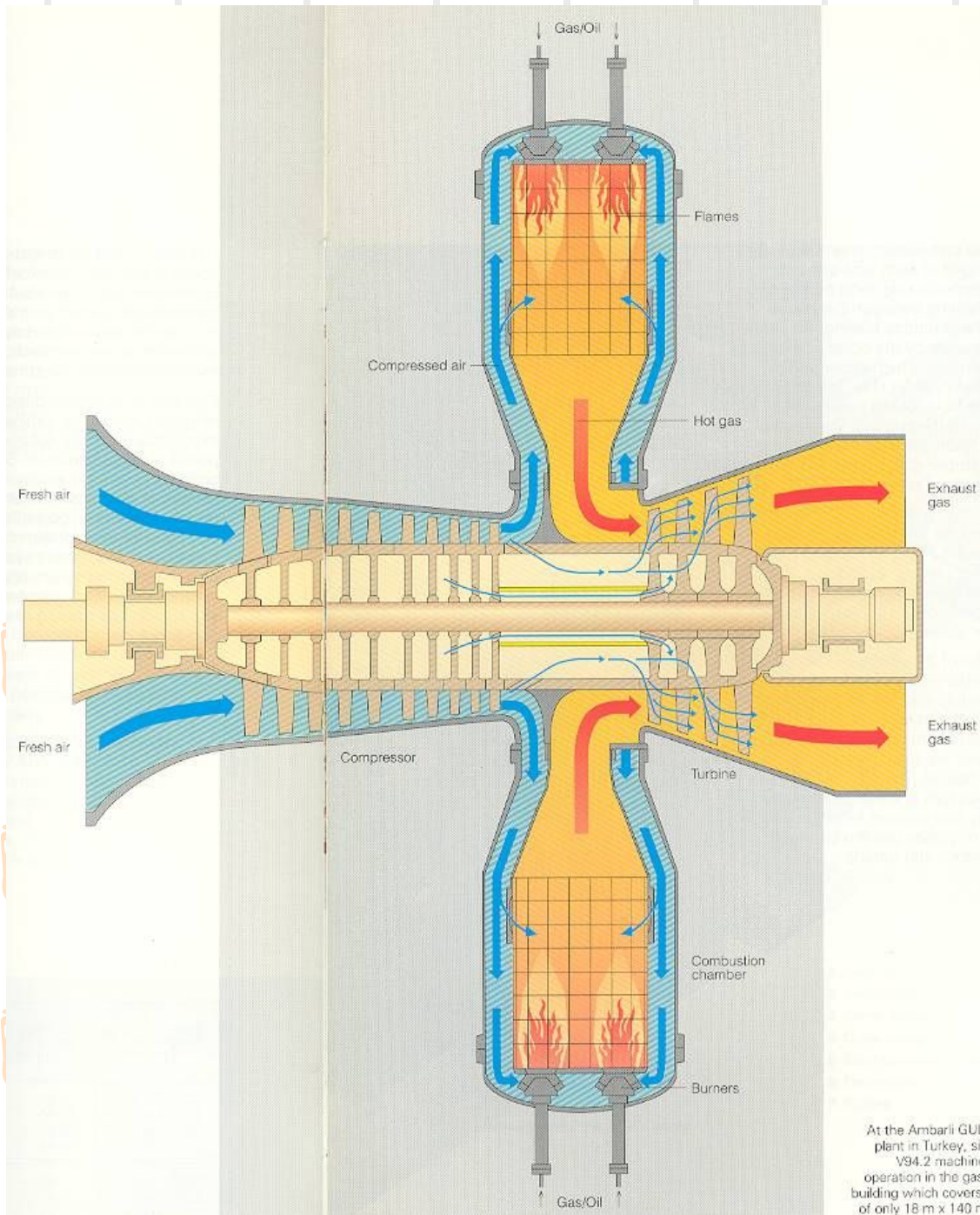


3 gas turbine-generator

- |                            |                       |
|----------------------------|-----------------------|
| 1 Fresh-air duct           | 8 Central tie bolt    |
| 2 Inlet casing             | 9 Bearings            |
| 3 Center casing            | 10 Combustion chamber |
| 4 Outlet casing            | 11 Flame cylinder     |
| 5 Stationary-blade carrier | 12 Burners            |
| 6 Compressor               | 13 Generator          |
| 7 Turbine                  |                       |



# 汽轮机



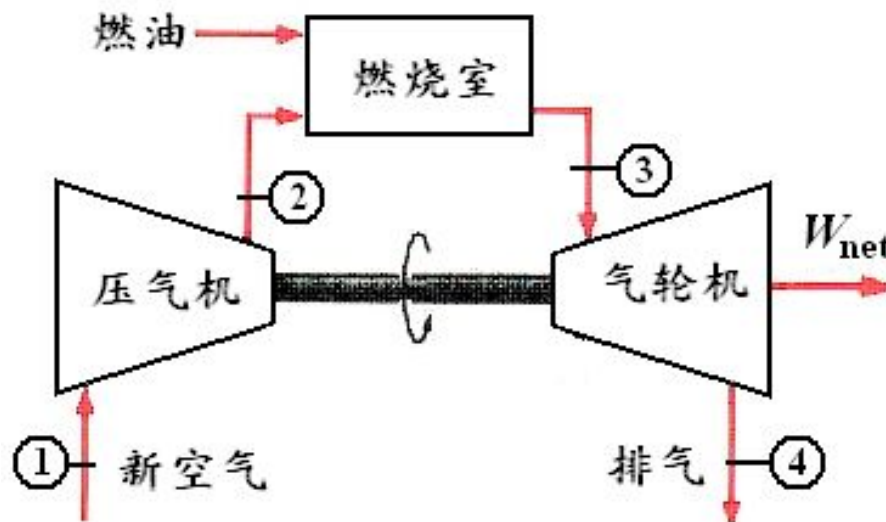


# 构成

压气机(compressor)

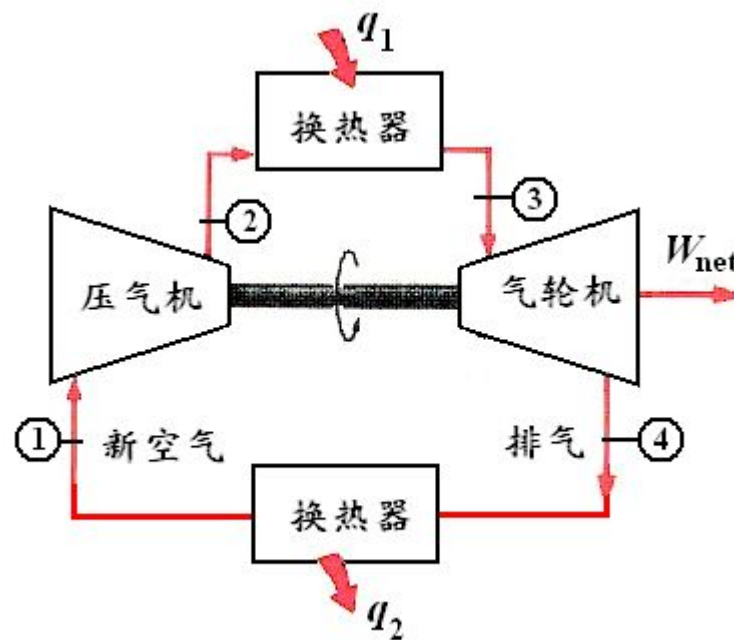
燃烧室(combustion chamber)

燃气轮机(gas turbine)



# 特点

- 1.开式循环(open cycle), 工质流动;
- 2.运转平稳, 连续输出功;
- 3.启动快, 达满负荷快;
- 4.压气机消耗了燃气轮机产生功率的绝大部分, 但重量功率比(specific weight of engine)仍较大。



# 用途

飞机、舰船的动力载荷机组, 电站峰荷机组(peak-load set) 等。 27

## 二、定压加热理想循环 (constant-pressure combustion cycle, Brayton cycle)

1-2 等熵压缩 (压气机内)  $\pi = \frac{p_2}{p_1}$

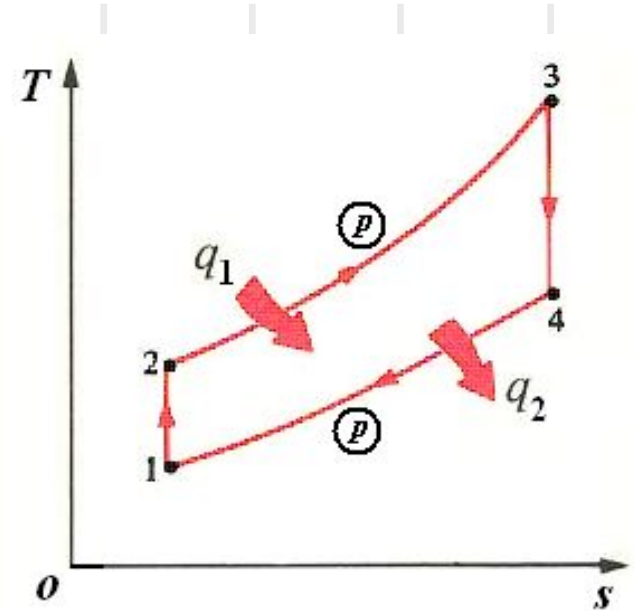
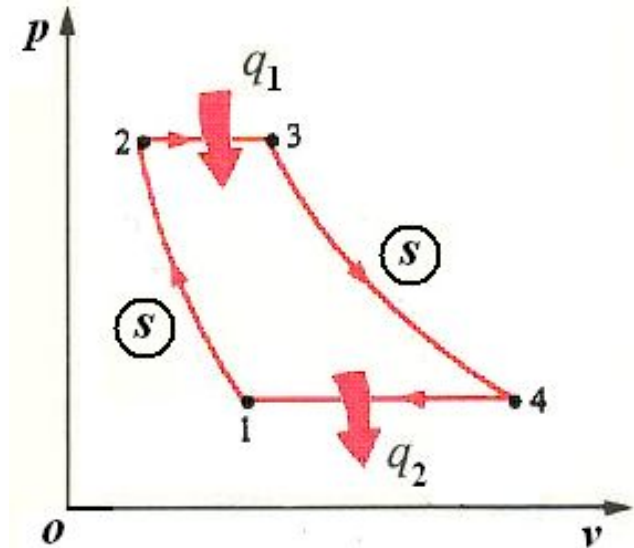
循环增压比 (pressure ratio)

2-3 定压吸热 (燃烧室内)  $\tau = \frac{T_3}{T_2}$

循环增温比 (temperature ratio)

3-4 等熵膨胀 (燃气轮机内)

4-1 定压放热 (排气, 假想换热器)



### 三、定压加热理想循环分析

#### 1. 热效率 $\eta_t$

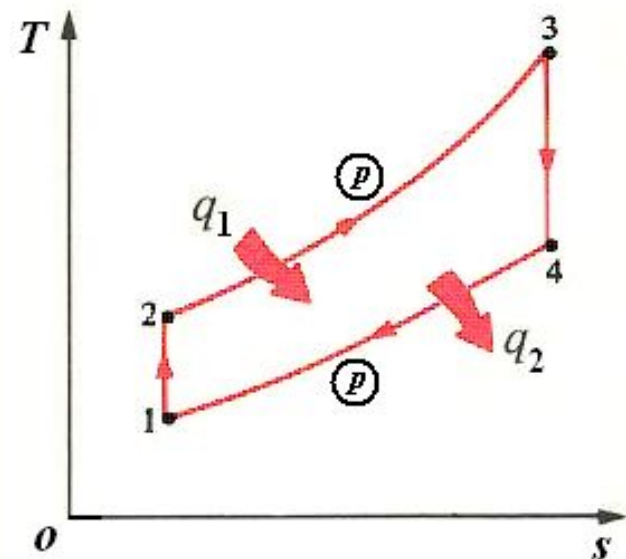
$$q_1 = h_3 - h_2 = c_{pm} \int_{t_2}^{t_3} (T_3 - T_2) = c_p (T_3 - T_2)$$

$$q_2 = h_4 - h_1 = c_{pm} \int_{t_1}^{t_4} (T_4 - T_1) = c_p (T_4 - T_1)$$

$$\eta_t = 1 - \frac{q_2}{q_1} = 1 - \frac{T_4 - T_1}{T_3 - T_2}$$

$$\left. \begin{aligned} \because T_4 &= T_3 \left( \frac{p_4}{p_3} \right)^{\frac{\kappa-1}{\kappa}} \\ T_1 &= T_2 \left( \frac{p_1}{p_2} \right)^{\frac{\kappa-1}{\kappa}} \end{aligned} \right\} \begin{aligned} p_4 &= p_1 \\ p_3 &= p_2 \end{aligned} \Rightarrow \frac{T_4}{T_3} = \frac{T_1}{T_2} \Rightarrow \frac{T_4 - T_1}{T_3 - T_2} = \frac{T_1}{T_2}$$

$$\therefore \eta_t = 1 - \frac{T_1}{T_2} = 1 - \frac{1}{\pi^{\frac{\kappa}{\kappa-1}}}$$



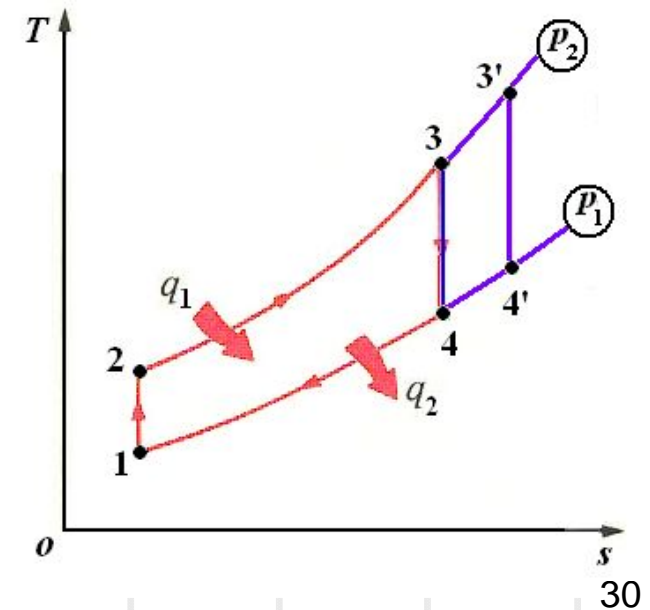
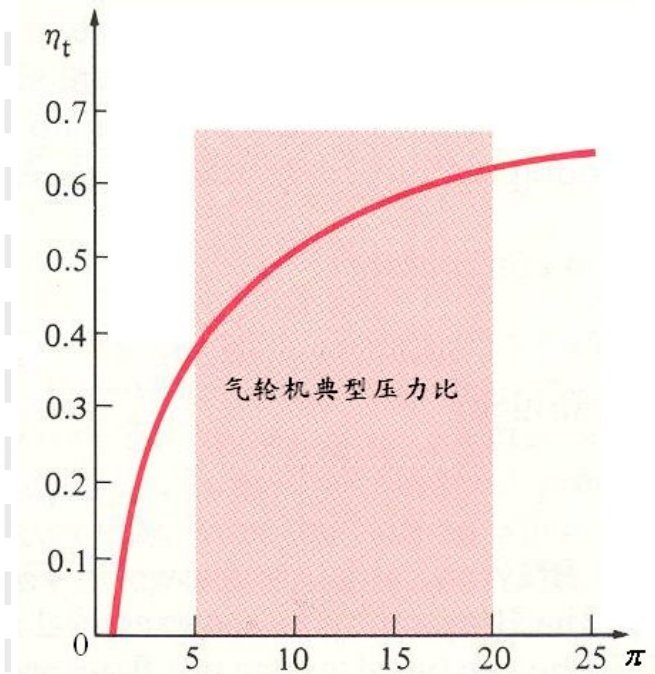
注意：式中  $T_1$ 、 $T_2$  并非指高温热源，低温热源。

## 2.分析

$$\eta_t = 1 - \frac{T_1}{T_2} = 1 - \frac{1}{\pi^{\frac{\kappa}{\kappa-1}}}$$

a)  $\pi \uparrow \eta_t \uparrow$   $\eta_t$ 与 $T_3$ 无关 ?

b)  $\pi$ 一定  $q_1 \uparrow w_{\text{net}} \uparrow \eta_t$ 不变

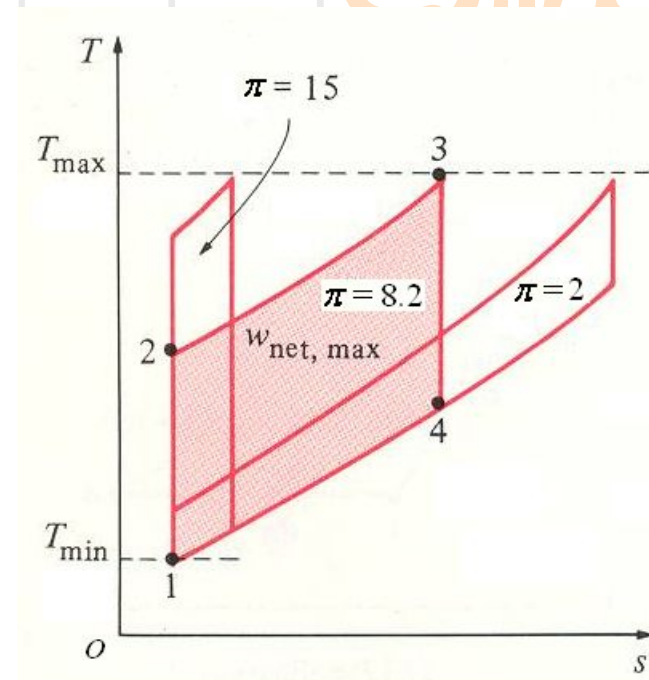


30



c)  $\tau$ 一定,  $\pi$ 取某值  $w_{\text{net}} \rightarrow w_{\text{max}}$

$$\begin{aligned}
 w_{\text{net}} &= q_1 - q_2 \\
 &= c_p [(T_3 - T_2) - (T_4 - T_1)] \\
 &= c_p T_1 \left[ \frac{\tau \left( \pi^{\frac{\kappa-1}{\kappa}} - 1 \right)}{\pi^{\frac{\kappa-1}{\kappa}}} - \left( \pi^{\frac{\kappa-1}{\kappa}} - 1 \right) \right]
 \end{aligned}$$



$$\frac{\delta w_{\text{net}}}{d\pi} = 0 \rightarrow \pi = \tau^{\frac{\kappa}{2(\kappa-1)}} \rightarrow w_{\text{net}} \rightarrow w_{\text{net,max}}$$

d)  $w_{net}$  与  $\tau$  及  $\pi$  的关系

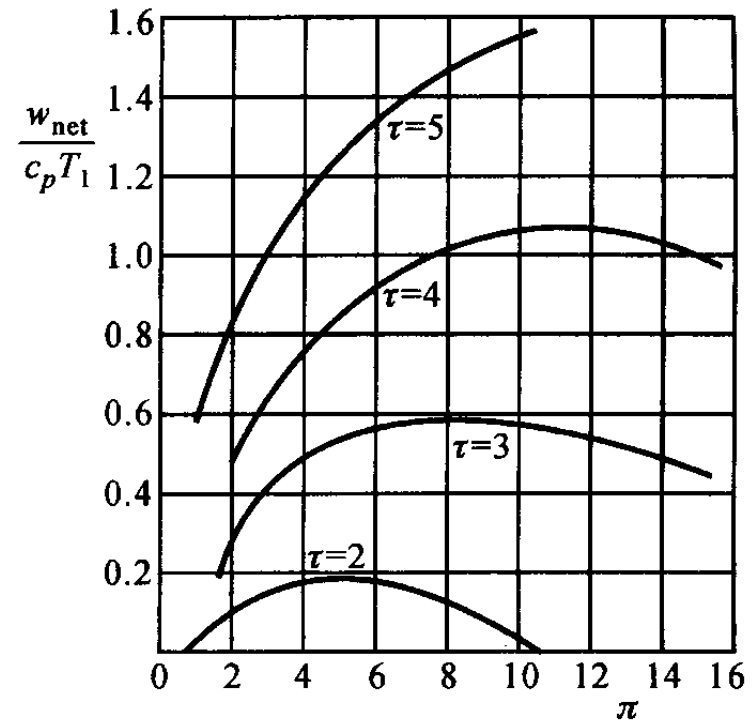
$$\text{由c) } w_{net} = c_p T_1 \left( \pi^{\frac{\kappa-1}{\kappa}} - 1 \right) \left( \frac{\tau}{\pi^{\frac{\kappa-1}{\kappa}}} - 1 \right)$$

可见:

1) 对于每一  $\tau$ , 均有  $\pi$ ,

其  $w \rightarrow w_{net,max}$

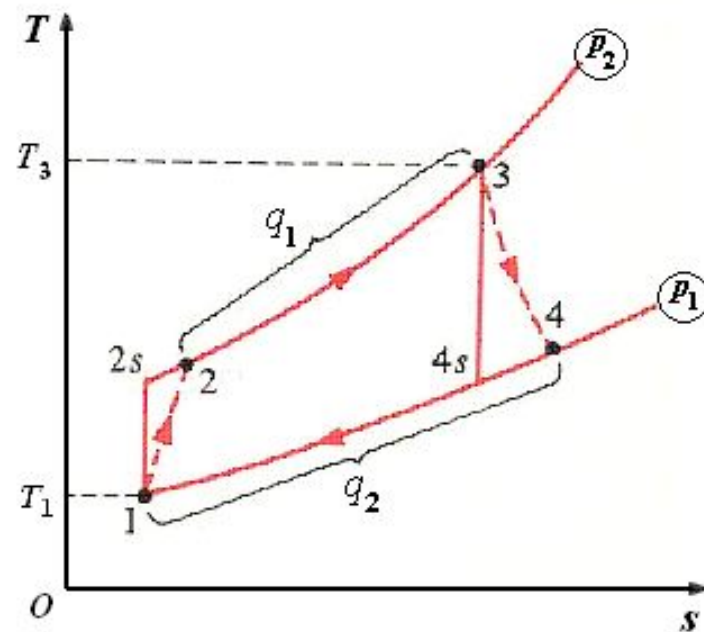
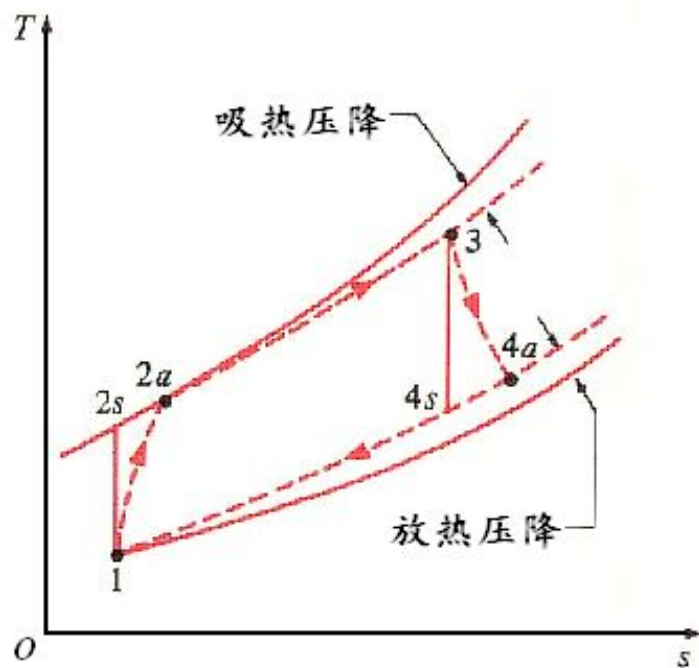
2)  $\tau$  上升, 即  $T_3$  上升, 使取得  $w_{net,max}$  的  $\pi$  上升,  $\eta_t$  上升, 所以提高  $T_3$  能带动  $w_{net,max}$  及  $\eta_t$  同时升高。



## 9-6 燃气轮机装置定压加热实际循环

### 一、定压加热的实际循环

- 1-2 不可逆绝热压缩;
- 2-3 定压吸热;
- 3-4 不可逆绝热膨胀;
- 4-1 定压放热。





## 二、压气机绝热效率(adiabatic compressor efficiency) 和燃气轮机相对内效率(adiabatic turbine efficiency)

$$\eta_{C,s} = \frac{w_{C,s}}{w'_C} = \frac{h_{2_s} - h_1}{h_2 - h_1}$$

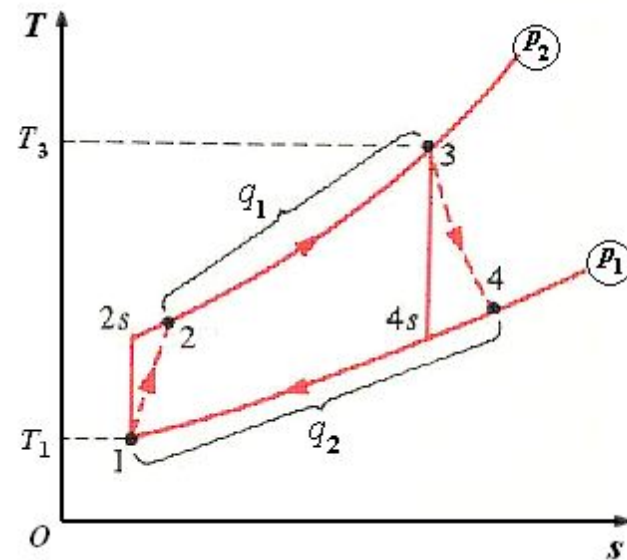
$$w'_C = \frac{1}{\eta_{C,s}} (h_{2_s} - h_1)$$

$$h_2 = h_1 + \frac{1}{\eta_{C,s}} (h_{2_s} - h_1)$$

$$\eta_T = \frac{w'_{t,T}}{w_{t,T}} = \frac{h_3 - h_4}{h_3 - h_{4_s}}$$

$$w'_{t,T} = \eta_T (h_3 - h_{4_s})$$

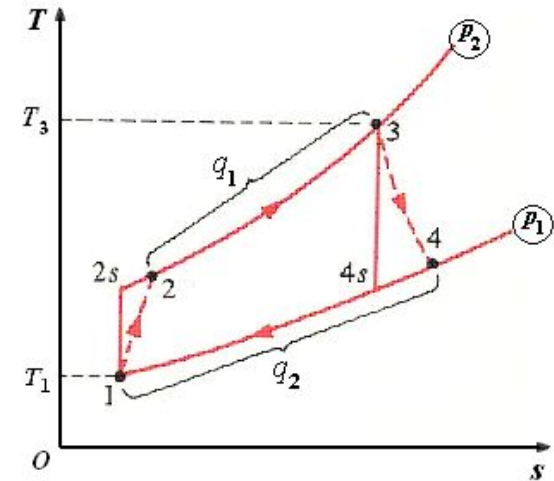
$$h_4 = h_3 - \eta_T (h_3 - h_{4_s})$$



### 三、燃气轮机装置的内部热效率 (internal thermal efficiency) $\eta_i$

$$\eta_i = \frac{w'_{\text{net}}}{q'_1}$$

$$w'_{\text{net}} = w'_{t,T} - w'_C = \eta_T (h_3 - h_{4_s}) - \frac{1}{\eta_{Cs}} (h_{2_s} - h_1)$$



$$q'_1 = h_3 - h_2 = h_3 - h_1 - \frac{1}{\eta_{Cs}} (h_{2_s} - h_1)$$

整理

$$\eta_i = \frac{\eta_T (h_3 - h_{4_s}) - \frac{1}{\eta_{Cs}} (h_{2_s} - h_1)}{h_3 - h_1 - \frac{1}{\eta_{Cs}} (h_{2_s} - h_1)} = \frac{\eta_T \frac{\tau}{\pi^{\frac{\kappa-1}{\kappa}}} - \frac{1}{\eta_{Cs}}}{\frac{\tau - 1}{\pi^{\frac{\kappa-1}{\kappa}}} - \frac{1}{\eta_{Cs}}}$$

$$\eta_i = \frac{\eta_T (h_3 - h_{4_s}) - \frac{1}{\eta_{Cs}} (h_{2_s} - h_1)}{h_3 - h_1 - \frac{1}{\eta_{Cs}} (h_{2_s} - h_1)} = \frac{\eta_T \frac{\tau}{\pi^{\frac{\kappa-1}{\kappa}}} - \frac{1}{\eta_{Cs}}}{\frac{\tau-1}{\pi^{\frac{\kappa-1}{\kappa}}} - \frac{1}{\eta_{Cs}}}$$

讨论:

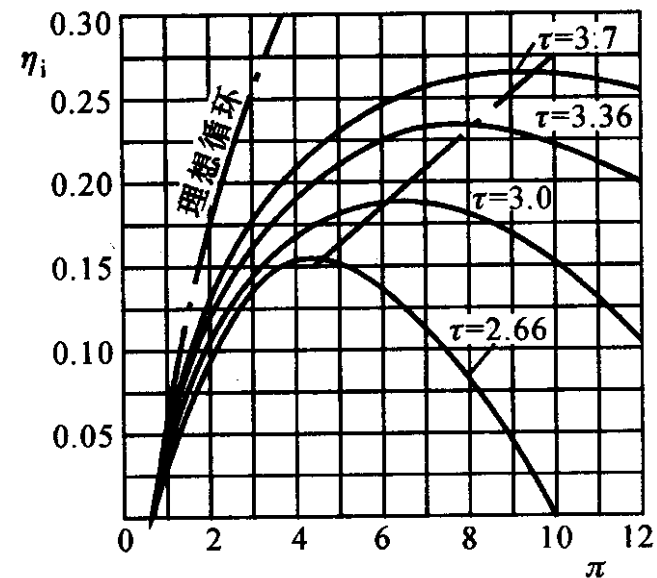
a) 除  $\pi$ 、 $\tau$  外  $\eta_i$  还与  $\eta_{Cs}$ 、 $\eta_T$  有关

$$\eta_T \uparrow \eta_{Cs} \uparrow \Rightarrow \eta_i \uparrow$$

目前  $\eta_T = 0.85 \sim 0.92$ ,  $\eta_{Cs} = 0.85 \sim 0.90$

b)  $\pi$  一定时,  $\tau \uparrow, \eta_i \uparrow$

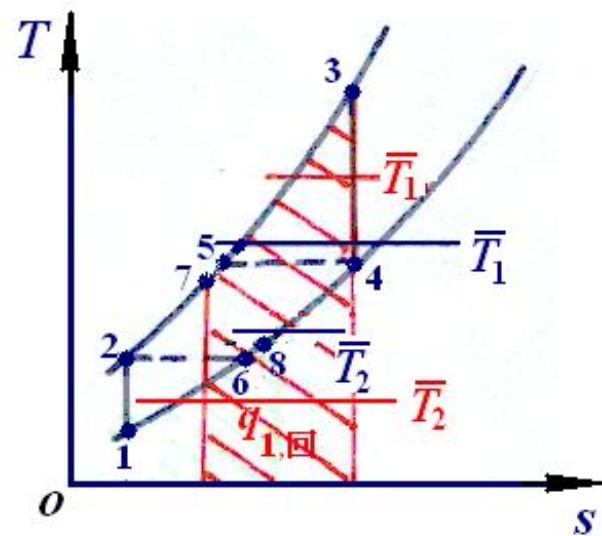
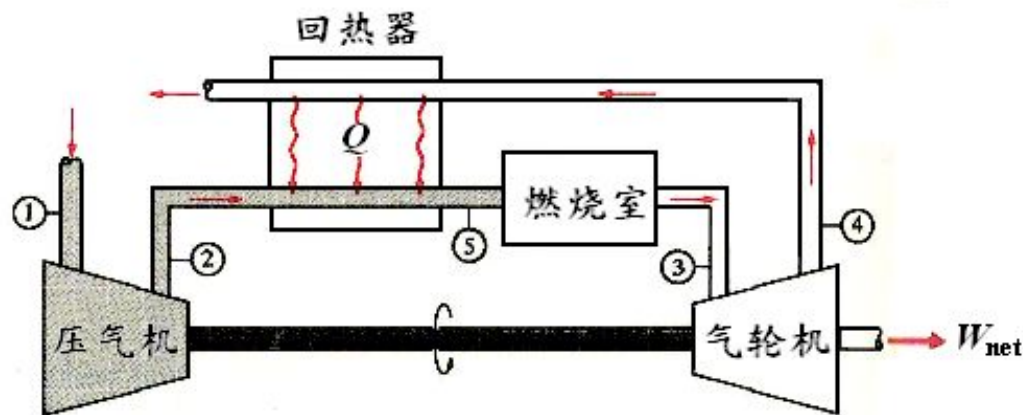
c)  $\pi \uparrow, \eta_i \uparrow$  但有极值



增大  $\tau$  是提高燃气轮机装置性能 ( $w_{net}$ ,  $\eta_i$ ) 的方向。

# 9-7 提高燃气轮机装置热效率的热力学措施

## 一、回热 (regeneration)



讨论

$$1) \quad q_{1\text{回}} = c_p (T_3 - T_7)$$

$$q_{2\text{回}} = c_p (T_8 - T_1)$$

$$\Rightarrow \eta_{t,\text{回}} = 1 - \frac{q_{2\text{回}}}{q_{1\text{回}}} = 1 - \frac{\overline{T_{2\text{回}}}}{\overline{T_{1\text{回}}}} > \eta_t$$

2) 极限回热

$$q_{1\text{回}} = c_p (T_3 - T_5)$$

$$q_{2\text{回}} = c_p (T_6 - T_1)$$

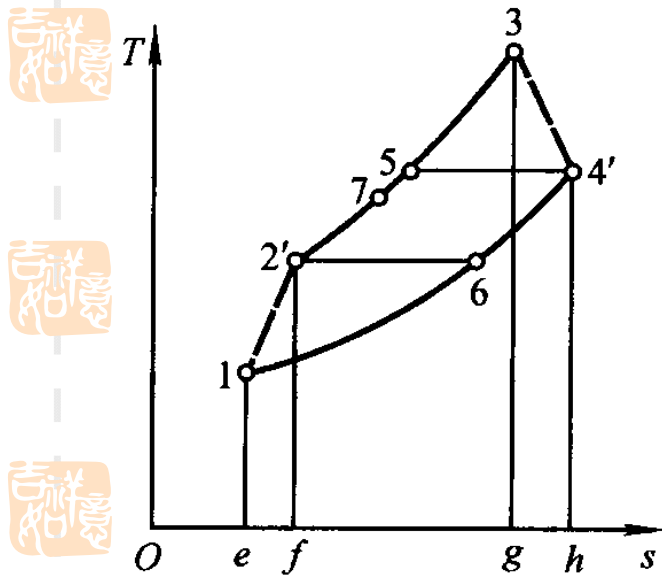
### 3) 回热度(regenerator effectiveness)

$$\sigma = \frac{\text{实际回热利用的热量}}{\text{理论上极限可利用的热量}}$$

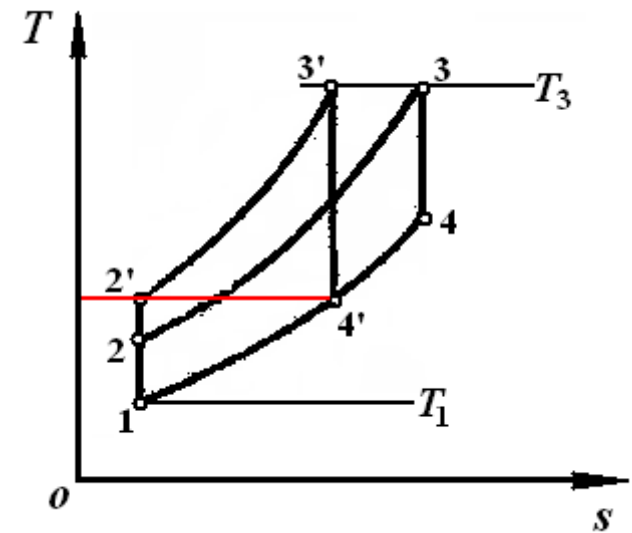
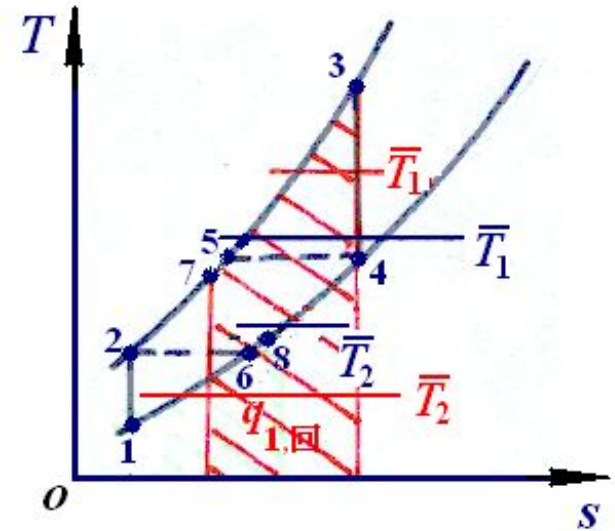
$$= \frac{h_7 - h_2}{h_5 - h_2} = \frac{h_4 - h_8}{h_4 - h_6}$$

注意:  $\pi$  达一定值, 回热不能进行。

### 4) 实际循环的回热



$$\sigma' = \frac{h_7 - h_{2'}}{h_5 - h_{2'}} = \frac{h_7 - h_{2'}}{h_{4'} - h_6}$$





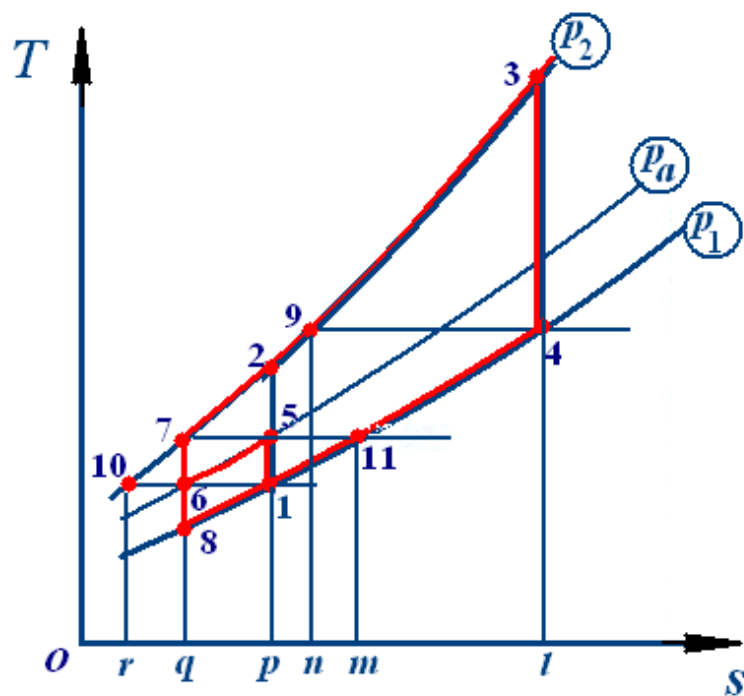
## 二、回热基础上 分级压缩，中间冷却

压气机耗功很大

分级压缩可降低压气机耗功

分级压缩，中间冷却

( multistage compression ,  
intervening cooling )



采用分级压缩，中间冷却后  $\eta_t \uparrow$  ?

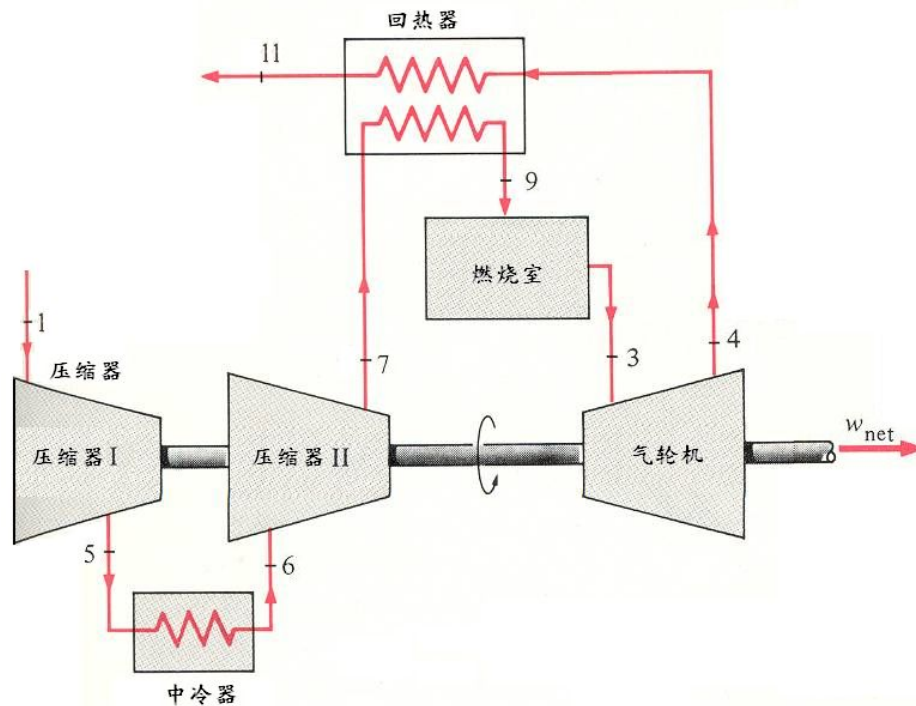
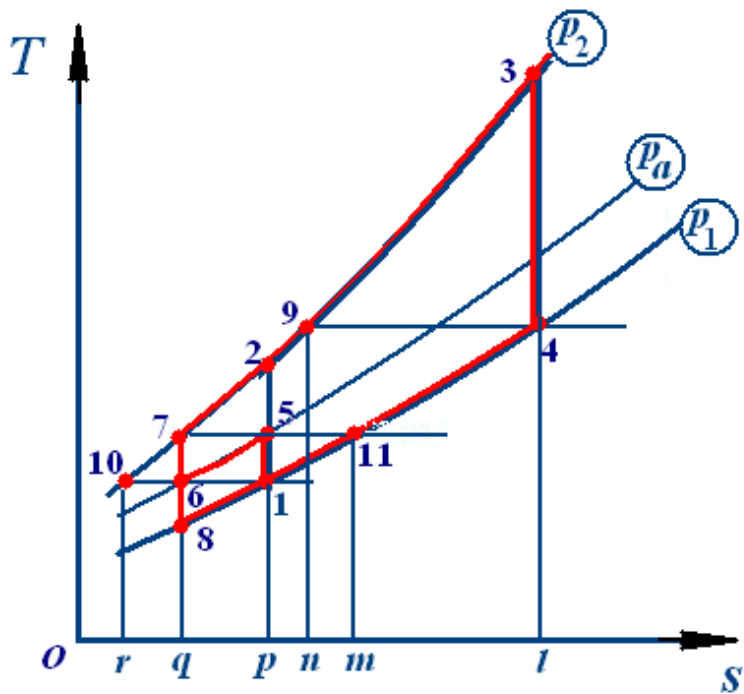
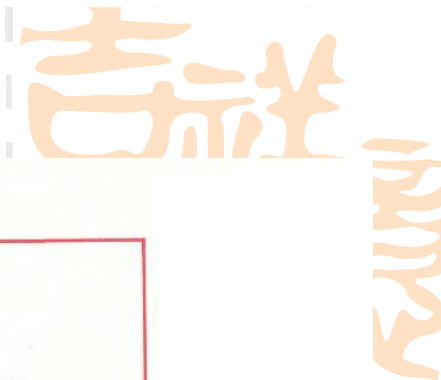
循环12341: 
$$\eta_t = 1 - \frac{1}{\pi^{\frac{\kappa-1}{\kappa}}}$$

循环1567341: 
$$\left\{ \begin{array}{l} \text{循环12341} \\ + \\ \text{循环67256} \end{array} \right.$$

循环67256: 
$$\eta'_t = 1 - \frac{1}{\pi_1^{\frac{\kappa-1}{\kappa}}} < \eta_t$$

$$\therefore \eta_{t1567341} < \eta_{t12341}$$

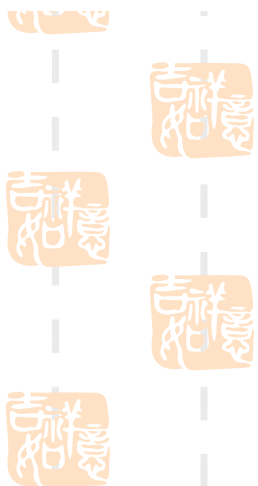
# 回热基础上分级压缩中间冷却



$$W_{\text{net},1567341} > W_{\text{net},12341}$$

$$q_{1,1567341} = q_{1,12341}$$

$$\therefore \eta_{t,1567341} > \eta_{t,12341}$$





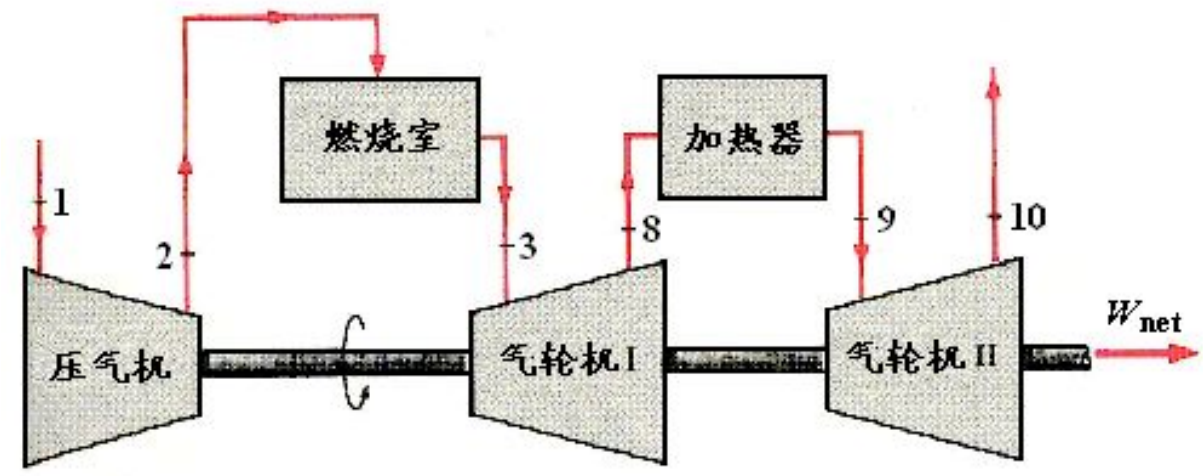
### 三、回热基础上分级膨胀，中间加热

循环12389101=循环127101-循环37983

若无回热

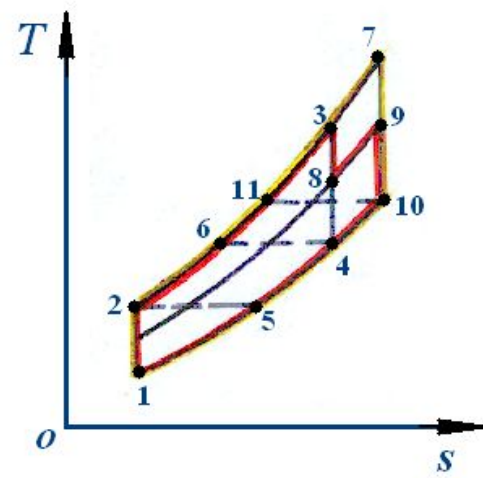
$$\left. \begin{aligned} \eta_{t,12341} &= \eta_{t,127101} \\ \eta_{t,2389101} &< \eta_{t,127101} \end{aligned} \right\}$$

$$\eta_{t,2389101} < \eta_{t,12341}$$

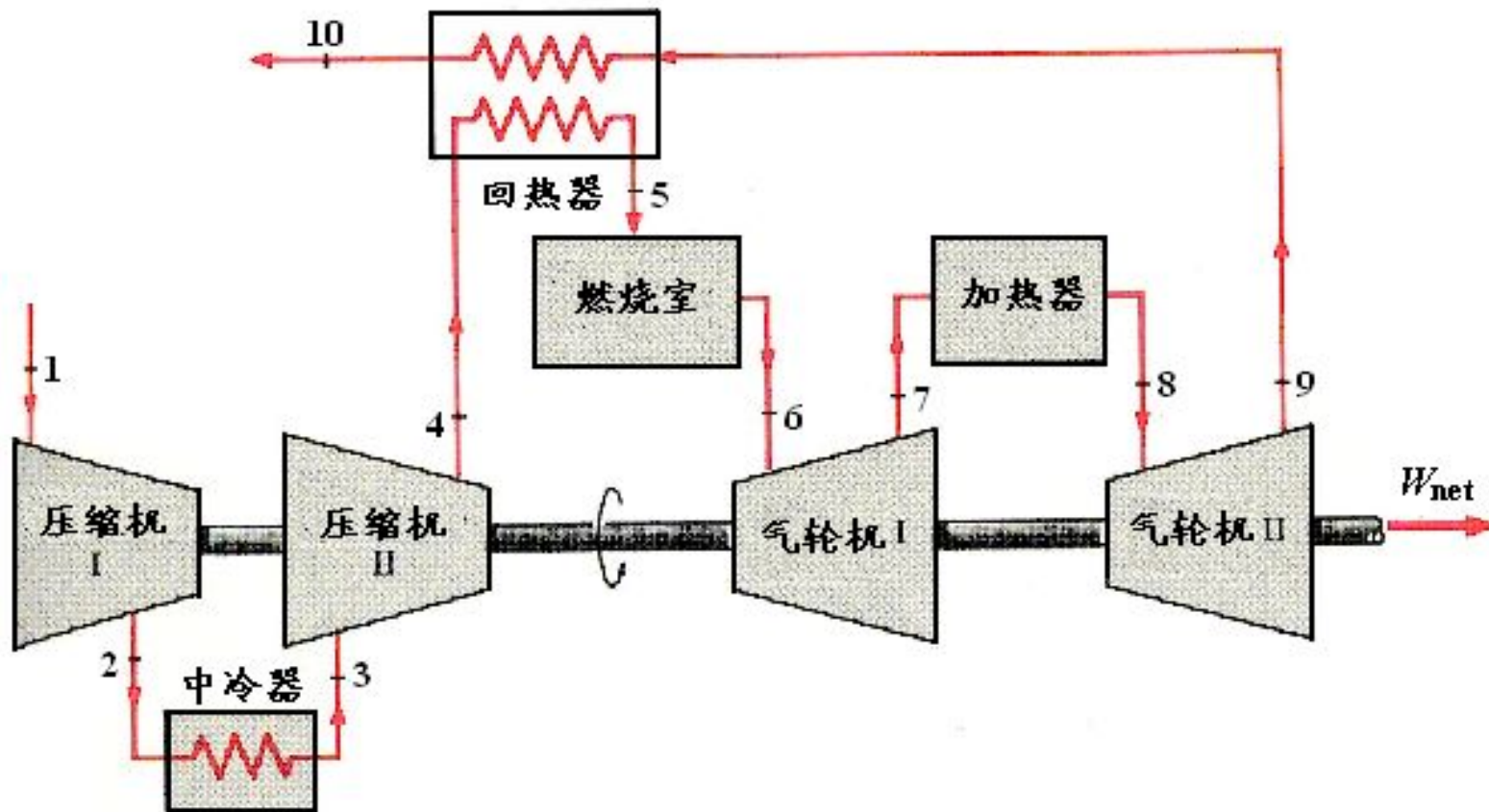


若回热  
循环12389101与循环12341  
比较 $T_{1m}$ 上升， $T_{2m}$ 下降

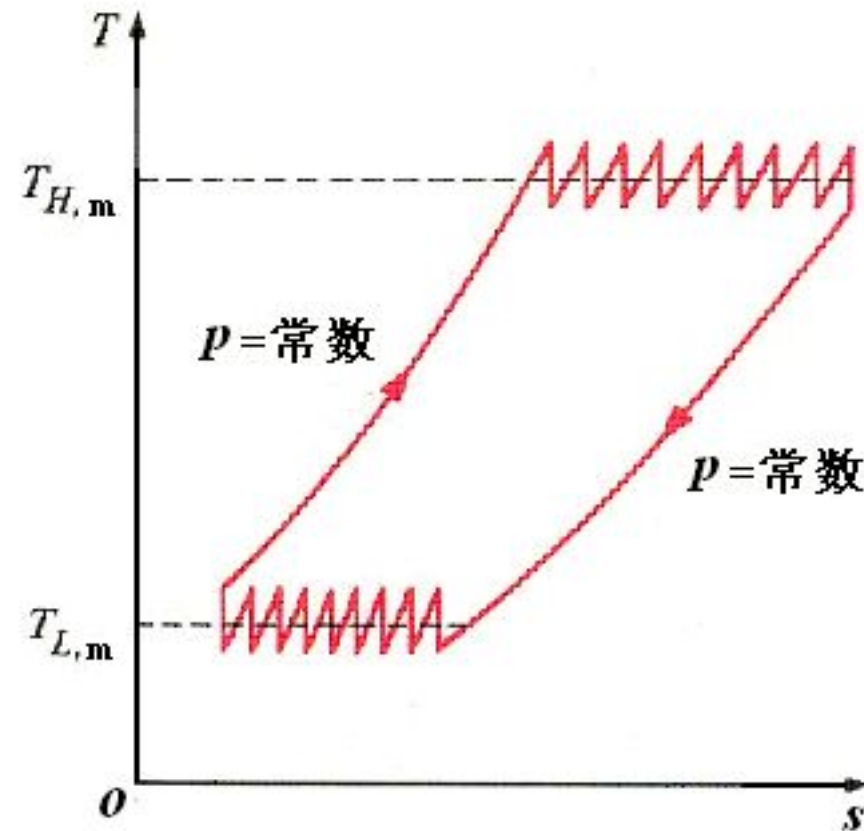
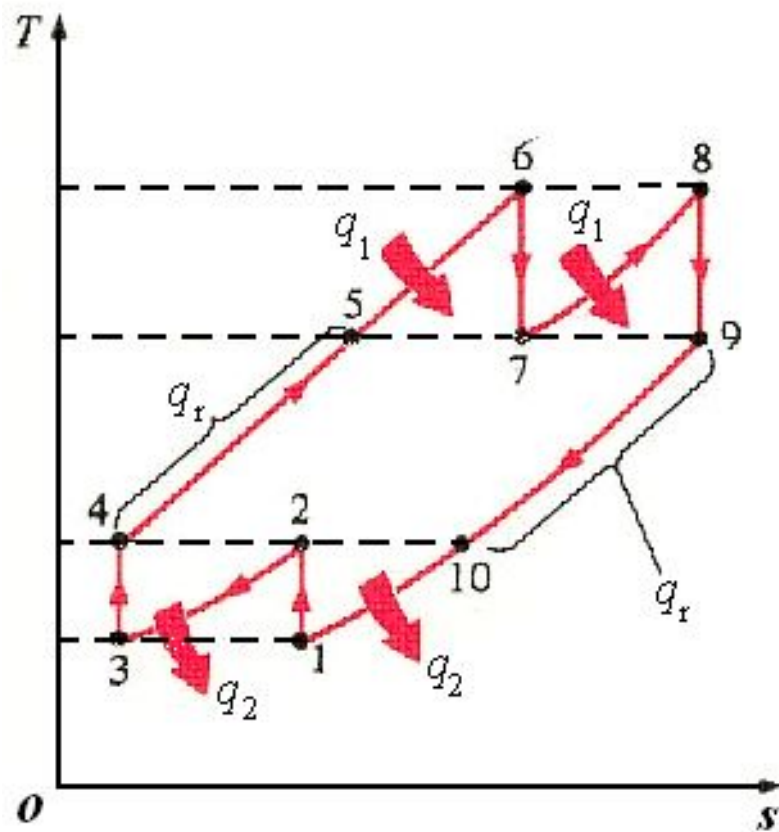
$$\eta_{t,12389101} > \eta_{t,12341}$$



# 五、回热基础上 分级压缩，中间冷却；分级膨胀，中间加热



当分级压缩中间冷却；分级膨胀中间再热，级数趋向无穷多时，定压加热理想循环趋于概括性卡诺循环。





## 气体动力循环热效率分析归纳:

基础:

$$\eta_t = \frac{W_{\text{net}}}{q_1} = 1 - \frac{q_2}{q_1} = 1 - \frac{\overline{T_2}}{T_1} = 1 - \frac{T_L}{T_h}$$

方法:

在  $T-s$  图上叠加、拆分等;

在  $T-s$  图上与同温限卡诺循环比较;

利用  $\eta_t = f(x, y, z \dots)$  的数学特性。

 [例A474299](#)

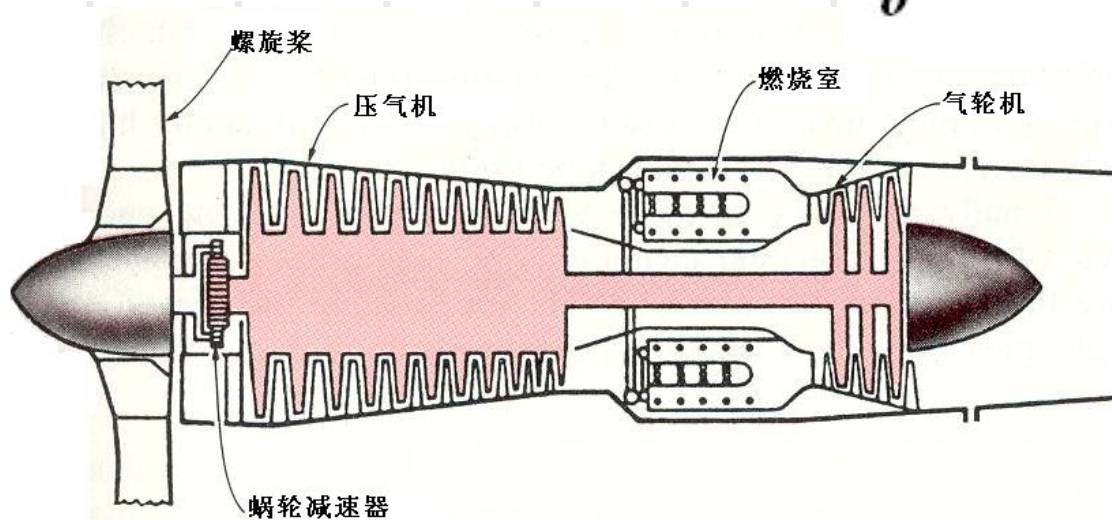
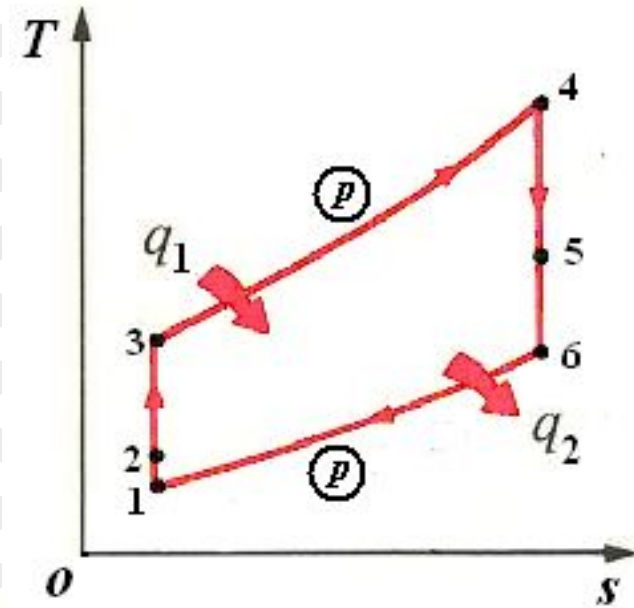
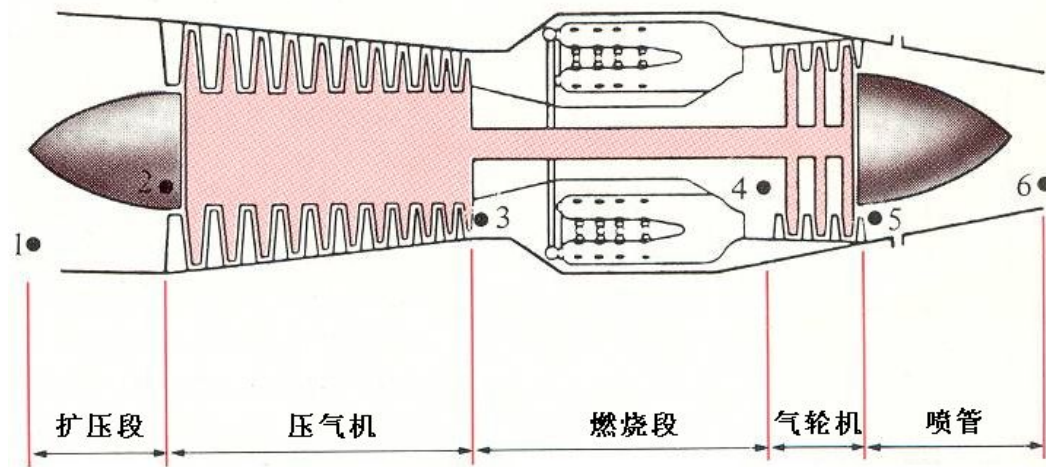
 [例A470389](#)





## 9-8 喷气发动机简介

定压燃烧喷气式发动机(jet engine)的理论循环及实际循环与燃气轮机装置定压加热循环相同。



下一章